

Федеральное государственное бюджетное образовательное учреждение
высшего образования
«Новосибирский государственный технический университет»

Кафедра прикладной математики

ОТЧЕТ ПО НИР

_____ Конечноэлементное моделирование напряжённо-деформированного состояния конструкций _____
_____ при механических и немеханических воздействиях _____
(тема НИР в соответствии с индивидуальным планом)

Направление подготовки: 09.06.01 Информатика и вычислительная техника
(профиль: "Математическое моделирование, численные методы и комплексы программ")

Выполнил:

Аспирант _____ Исламов Д. Р. _____
(Ф.И.О.)

Год подготовки _____ 3 _____

Факультет ФПМИ

подпись

«___» _____ 2020 г.

Проверил:

Научный руководитель _____ Персова М. Г. _____
(Ф.И.О.)

Балл: _____, ECTS _____,

Оценка _____

«отлично», «хорошо», «удовлетворительно», «неуд.»

подпись

«___» _____ 2020 г.

Новосибирск 2020

Оглавление

1. Постановка задачи	3
2. Пластичность	8
3. Механический контакт с жёсткой поверхностью	13
4. Решение СЛАУ (не получилось)	18
5. Тестирование	21
5.1. Вдавливание жёсткого шара в упругое полупространство	21
5.2. Вдавливание жёсткого шара в упруго-пластичное полупространство	28
5.3. Вдавливание жёсткого цилиндра в упругое полупространство	33
5.4. Вдавливание жёсткого шара в упруго-пластичное	
полупространство: степенное упрочнение	38
Заключение	48
Список литературы	49

1. Постановка задачи

Внутри тела, геометрия которого задана некоторой областью Ω , выполняются дифференциальные уравнения движения в перемещениях

$$\sum_{j=1}^3 \frac{\partial \sigma_{ij}}{\partial x_j} = 0, i = \overline{1,3}. \quad (1.1)$$

На границе $S = S_1 \cup S_2$ области Ω выполняются кинематические и силовые краевые условия

$$\vec{u} \Big|_{S_1} = \vec{u}_0(t), \quad (1.2)$$

$$\sum_{j=1}^3 \sigma_{ij} n_j \Big|_{S_2} = P_i(t), i = \overline{1,3}, \quad (1.3)$$

где \vec{n} – внешняя нормаль к поверхности S_2 , $\vec{P}(t)$ – вектор поверхностных сил, $\vec{u}_0(t)$ – вектор перемещения.

Компоненты тензора напряжений Коши σ_{ij} выражаются через упругие компоненты ε_{kl}^e малых деформаций Коши обобщенным законом Гука

$$\sigma_{ij} = \sum_{l=1}^3 \sum_{k=1}^3 C_{ijkl} \varepsilon_{kl}^e, \quad (1.1)$$

где $C_{ijkl}(T)$ – тензор модулей упругости материала, T – температура.

Исходя из закона Гука для изотропного тела [1, с. 42], представленного в прямом и обратном виде

$$\begin{aligned}
\sigma_{ij} &= \lambda \delta_{ij} (\varepsilon_{11}^e + \varepsilon_{22}^e + \varepsilon_{33}^e) + \mu (\varepsilon_{ij}^e + \varepsilon_{ji}^e), \\
\sigma_{ij} &= \sum_{l=1}^3 \sum_{k=1}^3 C_{ijkl} \varepsilon_{kl}^e, \\
\varepsilon_{ij}^e &= \frac{1}{E} \left(\frac{1+\nu}{2} (\sigma_{ij} + \sigma_{ji}) - \nu \delta_{ij} (\sigma_{11} + \sigma_{22} + \sigma_{33}) \right), \\
\varepsilon_{ij}^e &= \sum_{l=1}^3 \sum_{k=1}^3 A_{ijkl} \sigma_{kl},
\end{aligned} \tag{1.2}$$

тензор модулей упругости C_{ijkl} и тензор упругой податливости A_{ijkl} (обратный к тензору C_{ijkl}) определяются соотношениями

$$C_{ijkl} = \lambda \delta_{ij} \delta_{kl} + \mu (\delta_{ik} \delta_{jl} + \delta_{il} \delta_{jk}), \tag{1.3}$$

$$A_{ijkl} = \frac{1}{E} \left(\frac{1+\nu}{2} (\delta_{ik} \delta_{jl} + \delta_{il} \delta_{jk}) - \nu \delta_{ij} \delta_{kl} \right), \tag{1.4}$$

где $\lambda(T), \mu(T)$ – коэффициенты упругости Ламэ, $E(T)$ – модуль Гука, $\nu(T)$ – коэффициент Пуассона.

Компоненты тензора малых деформаций Коши ε_{ij} выражаются через перемещения (*линейные* геометрические соотношения)

$$\varepsilon_{ij} = \frac{1}{2} \left(\frac{\partial u_i}{\partial x_j} + \frac{\partial u_j}{\partial x_i} \right) \tag{1.5}$$

и для термо-упруго-пластичного материала представимы в виде суммы упругих, пластических и температурных компонент:

$$\varepsilon_{ij} = \varepsilon_{ij}^e + \varepsilon_{ij}^p + \alpha T \delta_{ij}, \tag{1.6}$$

где $\alpha T \delta_{ij}$ – деформации изотропного температурного расширения, $\alpha(T)$ – коэффициент линейного изотропного теплового расширения, ε_{ij}^p – пластические деформации.

Из закона Гука (1.1) получим [2, с. 126; 3, с. 228]

$$\begin{aligned}
\varepsilon_{ij} &= \alpha T \delta_{ij} + \varepsilon_{ij}^p + \sum_{l=1}^3 \sum_{k=1}^3 A_{ijkl} \sigma_{kl}, \\
\Delta \varepsilon_{ij} &= \left({}^{(t+\Delta t)}(\alpha T) - {}^{(t)}(\alpha T) \right) \delta_{ij} + \Delta \varepsilon_{ij}^p + \\
&+ \sum_{l=1}^3 \sum_{k=1}^3 {}^{(t+\Delta t)}(A_{ijkl} \sigma_{kl}) - \sum_{l=1}^3 \sum_{k=1}^3 {}^{(t)}(A_{ijkl} \sigma_{kl}), \\
\Delta \varepsilon_{ij} &= \left[(\alpha \Delta T + T \Delta \alpha + \Delta \alpha \Delta T) \delta_{ij} \right] + \Delta \varepsilon_{ij}^p + \\
&+ \left[\sum_{l=1}^3 \sum_{k=1}^3 \Delta A_{ijkl} {}^{(t)}\sigma_{kl} \right] + \sum_{l=1}^3 \sum_{k=1}^3 {}^{(t+\Delta t)}A_{ijkl} \Delta \sigma_{kl}.
\end{aligned} \tag{1.7}$$

Тогда соотношения (1.6), (1.1) можно записать в приращениях:

$$\Delta \varepsilon_{ij} = \Delta \varepsilon_{ij}^e + \Delta \varepsilon_{ij}^p + \Delta \varepsilon_{ij}^{\text{th}}, \tag{1.8}$$

$$\Delta \sigma_{ij} = \sum_{l=1}^3 \sum_{k=1}^3 {}^{(t+\Delta t)}C_{ijkl} \left(\Delta \varepsilon_{ij} - \Delta \varepsilon_{ij}^p - \Delta \varepsilon_{ij}^{\text{th}} \right), \tag{1.9}$$

где $\Delta \varepsilon_{ij}^{\text{th}}$ – компоненты приращения тензора температурных деформаций:

$$\Delta \varepsilon_{ij}^{\text{th}} = \left({}^{(t)}\alpha \Delta T + {}^{(t)}T \Delta \alpha + \Delta \alpha \Delta T \right) \delta_{ij} + \sum_{l=1}^3 \sum_{k=1}^3 \Delta A_{ijkl} {}^{(t)}\sigma_{kl}. \tag{1.10}$$

Учитывая симметрию тензоров ε_{ij} и σ_{ij} , обозначим деформации и напряжения в векторном виде:

$$\boldsymbol{\varepsilon} = \{ \varepsilon_{11}, \varepsilon_{22}, \varepsilon_{33}, 2\varepsilon_{23}, 2\varepsilon_{31}, 2\varepsilon_{12} \}^T, \boldsymbol{\sigma} = \{ \sigma_{11}, \sigma_{22}, \sigma_{33}, \sigma_{23}, \sigma_{31}, \sigma_{12} \}^T, \tag{1.11}$$

тогда обобщенный закон Гука (1.1) и соотношения (1.9), (1.6), (1.8) примут вид

$$\boldsymbol{\sigma} = \mathbf{D} \boldsymbol{\varepsilon}^e, \tag{1.12}$$

$$\Delta \boldsymbol{\sigma} = {}^{(t+\Delta t)}\mathbf{D} \left(\Delta \boldsymbol{\varepsilon} - \Delta \boldsymbol{\varepsilon}^p - \Delta \boldsymbol{\varepsilon}^{\text{th}} \right), \tag{1.13}$$

$$\boldsymbol{\varepsilon} = \boldsymbol{\varepsilon}^e + \boldsymbol{\varepsilon}^p + \alpha T \{ 1, 1, 1, 0, 0, 0 \}^T, \tag{1.14}$$

$$\Delta \boldsymbol{\varepsilon} = \Delta \boldsymbol{\varepsilon}^e + \Delta \boldsymbol{\varepsilon}^p + \Delta \boldsymbol{\varepsilon}^{\text{th}}, \tag{1.15}$$

где матрица \mathbf{D} (соответствующая тензору C_{ijkl}) определяется через компоненты тензора C_{ijkl} :

$$\mathbf{D} = \begin{pmatrix} C_{1111} & C_{1122} & C_{1133} & C_{1123} & C_{1113} & C_{1112} \\ & C_{2222} & C_{2233} & C_{2223} & C_{2213} & C_{2212} \\ & & C_{3333} & C_{3323} & C_{3313} & C_{3312} \\ & & & C_{2323} & C_{2313} & C_{2312} \\ & sym & & & C_{1313} & C_{1312} \\ & & & & & C_{1212} \end{pmatrix}, \quad (1.16)$$

$$\mathbf{D} = \begin{pmatrix} 2\mu + \lambda & \lambda & \lambda & 0 & 0 & 0 \\ \lambda & 2\mu + \lambda & \lambda & 0 & 0 & 0 \\ \lambda & \lambda & 2\mu + \lambda & 0 & 0 & 0 \\ 0 & 0 & 0 & \mu & 0 & 0 \\ 0 & 0 & 0 & 0 & \mu & 0 \\ 0 & 0 & 0 & 0 & 0 & \mu \end{pmatrix}. \quad (1.17)$$

Интенсивности напряжений и деформаций определяются соотношениями

$$\tilde{\sigma} = \sqrt{c_{\tilde{\sigma}} \boldsymbol{\sigma}^T \mathbf{M} \boldsymbol{\sigma}}, \quad \tilde{\varepsilon} = \sqrt{c_{\tilde{\varepsilon}} (\mathbf{R} \boldsymbol{\varepsilon})^T \mathbf{M} (\mathbf{R} \boldsymbol{\varepsilon})}, \quad (1.18)$$

$$\mathbf{M} = \begin{pmatrix} 1 & -0.5 & -0.5 & 0 & 0 & 0 \\ -0.5 & 1 & -0.5 & 0 & 0 & 0 \\ -0.5 & -0.5 & 1 & 0 & 0 & 0 \\ 0 & 0 & 0 & 3 & 0 & 0 \\ 0 & 0 & 0 & 0 & 3 & 0 \\ 0 & 0 & 0 & 0 & 0 & 3 \end{pmatrix}, \quad \mathbf{R} = \begin{pmatrix} 1 & 0 & 0 & 0 & 0 & 0 \\ 0 & 1 & 0 & 0 & 0 & 0 \\ 0 & 0 & 1 & 0 & 0 & 0 \\ 0 & 0 & 0 & 0.5 & 0 & 0 \\ 0 & 0 & 0 & 0 & 0.5 & 0 \\ 0 & 0 & 0 & 0 & 0 & 0.5 \end{pmatrix}, \quad (1.19)$$

$$c_{\tilde{\sigma}} = 1, c_{\tilde{\varepsilon}} = \frac{4}{9} \quad (1.20)$$

В соответствии с теорией пластического течения [4, с. 103] для изотропного пластичного материала деформации представимы в виде суммы упругой и пластической составляющих

$$\boldsymbol{\varepsilon}^{e+p} = \boldsymbol{\varepsilon}^e + \boldsymbol{\varepsilon}^p, \quad (1.21)$$

для критерия текучести Мизеса выполняется ассоциированный закон пластического течения

$$d\boldsymbol{\varepsilon}^p = \frac{\mathbf{M}\boldsymbol{\sigma}}{\tilde{\sigma}} d\tilde{\varepsilon}^p, \quad (1.22)$$

т.е. пластические деформации пропорциональны девиатору напряжений

$$s_{ij} = \sigma_{ij} - \delta_{ij} \frac{1}{3} (\sigma_{11} + \sigma_{22} + \sigma_{33}), \quad (1.23)$$

т.к.

$$\mathbf{M}\boldsymbol{\sigma} = \frac{3}{2} \{s_{11}, s_{22}, s_{33}, 2s_{23}, 2s_{31}, 2s_{12}\}. \quad (1.24)$$

Также задана кривая деформирования $\tilde{\sigma} = \Phi(q)$, связывающая интенсивности напряжений $\tilde{\sigma}$ и параметр Одквиста q , который определяется как сумма интенсивностей приращений пластических деформаций:

$$q = \int d\tilde{\varepsilon}^p. \quad (1.25)$$

Кривая деформирования $\tilde{\sigma} = \Phi(q)$ строится по диаграмме одноосного растяжения. В случае одноосного растяжения

$$\tilde{\sigma} = \sigma, d\tilde{\varepsilon}^p = d\varepsilon^p. \quad (1.26)$$

При активном нагружении происходит приращение пластических деформаций. Нейтральное нагружение или разгрузка происходят линейно-упруго, без приращения пластических деформаций.

2. Пластичность

В случае активного нагружения, т.е. когда работа внутренних сил больше нуля [5, с.96]

$$\Delta W = {}^{(t)}s_{ij}\Delta\varepsilon_{ij} > 0, \quad (2.1)$$

где $\Delta\varepsilon$ – девиатор приращения деформации, и при нулевом приращении пластической деформации происходит превышение предела упругости (здесь и далее $\tilde{\sigma} \equiv {}^{(t+\Delta t)}\tilde{\sigma}$ и т.п. и по умолчанию подразумевается временной слой $(t + \Delta t)$)

$$\tilde{\sigma} > \Phi\left({}^{(t)}q\right), \sigma = {}^{(t)}\sigma + \mathbf{D}(\Delta\varepsilon - \Delta\varepsilon^{\text{th}}), \quad (2.2)$$

необходимо подобрать значения пластических деформаций, чтобы выполнялось условие

$$\tilde{\sigma} = \Phi\left({}^{(t)}q + \Delta\varepsilon^{\text{p}}\right), \sigma = {}^{(t)}\sigma + \mathbf{D}(\Delta\varepsilon - \Delta\varepsilon^{\text{p}} - \Delta\varepsilon^{\text{th}}). \quad (2.3)$$

Представим закон Гука для приращений (1.13) в виде

$$\begin{aligned} \Delta\sigma &= \mathbf{D}(\Delta\varepsilon - \Delta\varepsilon^{\text{p}} - \Delta\varepsilon^{\text{th}}) = \mathbf{D}(\Delta\varepsilon - \Delta\varepsilon^{\tilde{\text{D}}} - \Delta\varepsilon^{\sigma^0} - \Delta\varepsilon^{\text{th}}) = \\ &= \mathbf{D}(\Delta\varepsilon - \Delta\varepsilon^{\tilde{\text{D}}}) - \mathbf{D}\Delta\varepsilon^{\sigma^0} - \mathbf{D}\Delta\varepsilon^{\text{th}} = \tilde{\mathbf{D}}\Delta\varepsilon + \Delta\sigma^0 - \mathbf{D}\Delta\varepsilon^{\text{th}}, \end{aligned} \quad (2.4)$$

где произведена замена (\sim означает пропорциональность)

$$\begin{aligned} \Delta\varepsilon^{\text{p}} &= \Delta\varepsilon^{\tilde{\text{D}}} + \Delta\varepsilon^{\sigma^0}, \\ \Delta\varepsilon^{\text{p}}, \Delta\varepsilon^{\tilde{\text{D}}}, \Delta\varepsilon^{\sigma^0} &\sim \mathbf{M} \cdot {}^{(t)}\sigma \end{aligned} \quad (2.5)$$

и для матрицы $\tilde{\mathbf{D}}$ и вектора $\Delta\sigma^0$ выполняются соотношения

$$\tilde{\mathbf{D}}\Delta\varepsilon = \mathbf{D}(\Delta\varepsilon - \Delta\varepsilon^{\tilde{\text{D}}}), \quad (2.6)$$

$$\Delta\sigma^0 = -\mathbf{D}\Delta\varepsilon^{\sigma^0}. \quad (2.7)$$

Поскольку пластическая деформация $\Delta \boldsymbol{\varepsilon}^0$ пропорциональна девиатору напряжений (в тензорном представлении), то напряжение $\Delta \boldsymbol{\sigma}^0$ также пропорционально девиатору напряжений (это следует из (2.7) и (1.17)):

$$\Delta \boldsymbol{\sigma}^0 \sim {}^{(t)}\mathbf{s}. \quad (2.8)$$

Матрица $\tilde{\mathbf{D}}$, для которой выполняется (2.6), определяется соотношениями [6, 3, 7]

$$\tilde{\mathbf{D}}_{E^*} = \mathbf{D}(\mathbf{I} - \tilde{\mathbf{Y}}_{E^*}), \quad (2.9)$$

где

$$\tilde{\mathbf{Y}}_{E^*} = \frac{\mathbf{Z}(\mathbf{Z}^T \mathbf{D})}{E^* + (\mathbf{Z}^T \mathbf{D})\mathbf{Z}}, \quad \mathbf{Z} = \frac{\mathbf{M}^{(t)} \boldsymbol{\sigma}}{{}^{(t)}\tilde{\boldsymbol{\sigma}}}, \quad (2.10)$$

$$E^* = \frac{\Delta \tilde{\boldsymbol{\sigma}}^{\tilde{\mathbf{D}}}}{\Delta \tilde{\boldsymbol{\varepsilon}}^{\tilde{\mathbf{D}}}}, \quad (2.11)$$

$$\Delta \boldsymbol{\sigma}^{\tilde{\mathbf{D}}} \equiv \tilde{\mathbf{D}} \Delta \boldsymbol{\varepsilon} = \mathbf{D}(\Delta \boldsymbol{\varepsilon} - \Delta \boldsymbol{\varepsilon}^{\tilde{\mathbf{D}}})$$

Рассмотрим итерационный процесс [1, с. 185; radial return algorithm], в котором матрица $\tilde{\mathbf{D}}_{E^*}$ зафиксирована при некотором значении E^* , например $E^* = \infty$ или

$$E^* = \frac{\partial \Phi({}^{(t)}q)}{\partial q}. \quad (2.12)$$

На 0-й итерации задаётся начальное напряжение

$$\Delta \boldsymbol{\sigma}_0^0 = 0 \quad (2.13)$$

Пусть в некотором конечном элементе, на k -й итерации для значения начального напряжения $\Delta \boldsymbol{\sigma}_k^0$ в результате конечноэлементного решения получена деформация $\Delta \boldsymbol{\varepsilon}_k$, тогда приращение напряжения $\Delta \boldsymbol{\sigma}_k$ определяется соотношением (2.4)

$$\Delta \boldsymbol{\sigma}_k = \tilde{\mathbf{D}}_{E^*} \Delta \boldsymbol{\varepsilon}_k + \Delta \boldsymbol{\sigma}_k^0 - \mathbf{D} \Delta \boldsymbol{\varepsilon}^{\text{th}}, \quad (2.14)$$

$$\boldsymbol{\sigma}_k = {}^{(t)}\boldsymbol{\sigma} + \Delta \boldsymbol{\sigma}_k, \quad (2.15)$$

приращения упругой и пластической компонент деформации определяются напрямую из (2.4) соотношениями

$$\begin{aligned} \Delta \boldsymbol{\varepsilon}_k^p &= \Delta \boldsymbol{\varepsilon}_k^{\tilde{\mathbf{D}}} + \Delta \boldsymbol{\varepsilon}_k^{\sigma^0} = \tilde{\mathbf{Y}}_{E^*} \Delta \boldsymbol{\varepsilon}_k - \mathbf{D}^{-1} \Delta \boldsymbol{\sigma}_k^0, \\ \Delta \boldsymbol{\varepsilon}_k^e &= \Delta \boldsymbol{\varepsilon}_k - \Delta \boldsymbol{\varepsilon}_k^p - \Delta \boldsymbol{\varepsilon}^{\text{th}}. \end{aligned} \quad (2.16)$$

Если выполняются условия активного нагружения (2.1) и (2.2), то приращение параметра Одквиста

$$\Delta q_k = \Delta \tilde{\varepsilon}_k^p \quad (2.17)$$

и начальные напряжения корректируются в соответствии с кривой деформирования:

$$\Delta \boldsymbol{\sigma}_{k+1}^0 = \Delta \boldsymbol{\sigma}_k^0 + \frac{{}^{(t)}\mathbf{s}}{{}^{(t)}\tilde{\mathbf{s}}} \cdot \left(\Phi \left({}^{(t)}q + \Delta q_k \right) - \tilde{\sigma}_k \right) \quad (2.18)$$

Невязки в этом случае определяются выражениями

$$\begin{aligned} \Delta_k^\sigma &= \frac{\Phi \left({}^{(t)}q + \Delta q_k \right) - \tilde{\sigma}_k}{{}^{(t)}\tilde{\sigma}}, \\ \Delta_k^\varepsilon &= \frac{\Delta q_k - \Delta q_{k-1}}{{}^{(t)}\tilde{\varepsilon}}. \end{aligned} \quad (2.19)$$

Если условия активного нагружения не выполняются, то

$$\Delta q_k = 0 \quad (2.20)$$

и необходимо, чтобы выполнялись линейные соотношения ((2.4) без пластичных деформаций)

$$\Delta \boldsymbol{\sigma} = \mathbf{D} \left(\Delta \boldsymbol{\varepsilon} - \Delta \boldsymbol{\varepsilon}^{\text{th}} \right) = \tilde{\mathbf{D}}_{E^*} \Delta \boldsymbol{\varepsilon} + \Delta \boldsymbol{\sigma}^0 - \mathbf{D} \Delta \boldsymbol{\varepsilon}^{\text{th}}, \quad (2.21)$$

откуда следует

$$\Delta \sigma_{k+1}^0 = \mathbf{D} \tilde{\mathbf{Y}}_{E^*} \Delta \epsilon_k \quad (2.22)$$

или с регуляризацией (которая не помогает)

$$\Delta \sigma_{k+1}^0 = \omega_{\text{elastic}} \cdot \mathbf{D} \tilde{\mathbf{Y}}_{E^*} \Delta \epsilon_k + (1 - \omega_{\text{elastic}}) \cdot \Delta \sigma_k^0. \quad (2.23)$$

Невязки в этом случае определяются выражениями

$$\begin{aligned} \Delta_k^\sigma &= \frac{\tilde{\Delta}_k^{\sigma^0}}{(t) \tilde{\sigma}}, \Delta_k^{\sigma^0} = \Delta \sigma_{k+1}^0 - \Delta \sigma_k^0, \\ \Delta_k^\epsilon &= \frac{\Delta \tilde{\epsilon}_k^p}{(t) \tilde{\epsilon}}. \end{aligned} \quad (2.24)$$

Если после завершения итераций оказалось, что активное нагружение не произошло (например, $\Delta W \leq 0$ и произошла разгрузка или нейтральное нагружение), то на следующем шаге матрица $\tilde{\mathbf{D}}_{E^*}$ становится упругой, т.е. задаётся

$$\tilde{\mathbf{D}}_{E^*} = \mathbf{D}. \quad (2.25)$$

Поскольку в случае разгрузки итерации иногда не сходятся, то замена (2.25) производится сразу, в процессе итераций. СЛАУ решается при помощи \mathbf{LDL}^T разложения, поэтому если разгрузка происходит хотя бы в одном конечном элементе, то замена (2.25) производится сразу для всех конечных элементов (тогда на одном шаге по времени разложение матрицы СЛАУ потребуется делать не более 2-х раз, а количество итераций возрастает обычно всего в пару раз).

Уравнениям равновесия (1.1) с определяющими соотношениями (2.14)

$$\Delta \sigma_{k+1} = \tilde{\mathbf{D}}_{E^*} \Delta \epsilon_{k+1} + \Delta \sigma_k^0 - \mathbf{D} \Delta \epsilon^{\text{th}} \quad (2.26)$$

соответствуют уравнения Галёркина [8]

$$\begin{aligned}
& \sum_{j=1}^3 \int_{(t)\Omega} \sum_{k=1}^3 \sum_{l=1}^3 \left(\tilde{C}_{ijkl} \frac{\partial(\Delta u_k)}{\partial x_l} \frac{\partial v}{\partial x_j} \right) d\Omega = \int_{(t)S_2} \Delta P_i v dS + \\
& + \sum_{j=1}^3 \int_{(t)\Omega} \sum_{k=1}^3 \sum_{l=1}^3 (C_{ijkl} \Delta \varepsilon_{kl}^{\text{th}}) \frac{\partial v}{\partial x_j} d\Omega - \sum_{j=1}^3 \int_{(t)\Omega} \Delta \sigma_{ij}^0 \frac{\partial v}{\partial x_j} d\Omega, i = \overline{1,3}
\end{aligned} \tag{2.27}$$

с параметрами E^* и $\Delta \sigma^0$, где компоненты приращений температурных деформаций $\Delta \varepsilon_{kl}^{\text{th}}$ определяются соотношением (1.10). В результате решения (2.27) находятся приращения наблюдаемых деформаций

$$\Delta \varepsilon_{ij} = \frac{1}{2} \left(\frac{\partial(\Delta u_i)}{\partial x_j} + \frac{\partial(\Delta u_j)}{\partial x_i} \right), \tag{2.28}$$

по которым определяются остальные приращения: (2.14), (2.16) и (2.17).

В варианте с "коррекцией" в правую часть уравнений (2.27) добавляется невязка R_i , рассчитанная на предыдущем шаге по времени [9]:

$$\begin{aligned}
& \sum_{j=1}^3 \int_{(t)\Omega} \sum_{k=1}^3 \sum_{l=1}^3 \left(\tilde{C}_{ijkl} \frac{\partial(\Delta u_k)}{\partial x_l} \frac{\partial v}{\partial x_j} \right) d\Omega = \int_{(t)S_2} \Delta P_i v dS + \\
& + \sum_{j=1}^3 \int_{(t)\Omega} \sum_{k=1}^3 \sum_{l=1}^3 (C_{ijkl} \Delta \varepsilon_{kl}^{\text{th}}) \frac{\partial v}{\partial x_j} d\Omega - \sum_{j=1}^3 \int_{(t)\Omega} \Delta \sigma_{ij}^0 \frac{\partial v}{\partial x_j} d\Omega + R_i, i = \overline{1,3}
\end{aligned} \tag{2.29}$$

где

$$R_i \equiv \gamma \left(\int_{(t-\Delta t)S_2} (t)P_i v dS - \sum_{j=1}^3 \int_{(t-\Delta t)\Omega} (t)\sigma_{ij} \frac{\partial v}{\partial x_j} d\Omega \right), \tag{2.30}$$

коэффициент γ подбирается экспериментально для каждого шага по времени.

(Ранее использовал безумство:

$$R_i \equiv \int_{(t)S_2} (t)P_i v dS - \sum_{j=1}^3 \int_{(t)\Omega} (t)\sigma_{ij} \frac{\partial v}{\partial x_j} d\Omega. \tag{2.31}$$

3. Механический контакт с жёсткой поверхностью

Контактное взаимодействие с жёсткой поверхностью можно учесть методом штрафа [5, 10].

Для каждого узла, для которого возможен контакт с опорой, введём характеристики (по умолчанию подразумевается временной слой $(t + \Delta t)$):

Contact = узел находится в состоянии контакта,

Separation = происходит «отлипание» на текущей итерации,

\mathbf{r} – радиус-вектор узла,

$\mathbf{u} \equiv \mathbf{r} - {}^{(t)}\mathbf{r}$ – перемещение узла,

κ – коэффициент контактной жёсткости,

\mathbf{F} – действующая на узел сила реакции опоры,

\mathbf{r}^* – радиус-вектор точки контакта,

$\mathbf{u}^* \equiv \mathbf{r}^* - {}^{(t)}\mathbf{r}$,

\mathbf{n} – внешняя нормаль к поверхности опоры в точке \mathbf{r}^* .

Также обозначим функции, характеризующие поверхность опоры:

nearestPoint(\mathbf{r}) – ближайшая к точке \mathbf{r} точка поверхности опоры

intersectionPoint($\mathbf{r}_1, \mathbf{r}_2$) – точка пересечения отрезка $\mathbf{r}_1\mathbf{r}_2$ с поверхностью

side(\mathbf{r}) = -1, если точка \mathbf{r} находится с внутренней стороны поверхности или

side(\mathbf{r}) = +1, если точка \mathbf{r} находится с внешней стороны поверхности.

Алгоритм учёта контакта для некоторого узла.

0. Инициализируется начальное приближение для временного слоя $t + \Delta t$:

$$\begin{aligned} Contact_0 &\leftarrow {}^{(t)}Contact, Separation_0 \leftarrow {}^{(t)}Separation, \\ \mathbf{F}_0 &\leftarrow {}^{(t)}\mathbf{F}, \mathbf{r}_0^* \leftarrow {}^{(t)}\mathbf{r}^*, \mathbf{n}_0 \leftarrow {}^{(t)}\mathbf{n} \end{aligned} \quad (3.1)$$

Если поверхность подвижна, то значения \mathbf{r}_0^* и \mathbf{n}_0 обновляются:

$$\mathbf{r}_0^* \leftarrow nearestPoint({}^{(t)}\mathbf{r}). \quad (3.2)$$

1.1. Собирается матрица жёсткости механической задачи (без учёта контактных добавок) и рассчитывается коэффициент контактной жёсткости по локальной матрице жёсткости $\hat{\mathbf{G}}_k$ (локальной для заданного узла, т.е. с размерами 3×3 ; диагональ локальной узловой матрицы принадлежит диагонали глобальной матрицы):

$$\kappa_k = 1 \cdot \sum_{i=1}^3 \left| \left(\hat{\mathbf{G}}_k \right)_{ii} \cdot (\mathbf{n}_k)_i \right|, \quad (3.3)$$

тогда после дробления сетки или изменения упругих параметров материала скорость сходимости остаётся примерно одинаковой. Вместо единицы можно подставлять другие коэффициенты.

1.2. Рассчитываются локальная узловая матрица $\hat{\mathbf{G}}_k^{\text{contact}}$ и локальный узловой вектор $\hat{\mathbf{b}}_k^{\text{contact}}$ (т.е. вектор размера 3).

Если $Contact_k = true$, то

$$\begin{aligned} \left[\hat{\mathbf{b}}_k^{\text{contact}} = \left(\mathbf{F}_k + \kappa_k \left(\underline{\underline{\mathbf{u}_k^* - \mathbf{u}_k}} \right) \right) \cdot \mathbf{n}_k \cdot \mathbf{n}_k - {}^{(t)}\mathbf{F} \right] \\ \hat{\mathbf{G}}_k^{\text{contact}} \leftarrow \kappa_k \mathbf{n}_k \mathbf{n}_k^T \\ \hat{\mathbf{b}}_k^{\text{contact}} \leftarrow \left(\mathbf{F}_k + \kappa_k \mathbf{u}_k^* \right) \cdot \mathbf{n}_k \cdot \mathbf{n}_k - {}^{(t)}\mathbf{F} \end{aligned} \quad (3.4)$$

Если $Separation_k = true$, то

$$\begin{aligned}\hat{\mathbf{G}}_k^{\text{contact}} &\leftarrow 0 \\ \hat{\mathbf{b}}_k^{\text{contact}} &\leftarrow 0 - {}^{(t)}\mathbf{F}\end{aligned}\tag{3.5}$$

2.1. Из решения СЛАУ получается перемещение \mathbf{u}_k и рассчитывается новое приближение силы реакции опоры.

Если $Contact_k = true$, то

$$\mathbf{F}_{k+1} \leftarrow \left(\mathbf{F}_k + \kappa_k \left(\mathbf{u}_k^* - \mathbf{u}_k \right) \right) \cdot \mathbf{n}_k \cdot \mathbf{n}_k\tag{3.6}$$

Если $Separation_k = true$, то

$$\mathbf{F}_{k+1} \leftarrow 0\tag{3.7}$$

2.2. Обновляется состояние узла, находится новое приближение точки контакта:

if $Contact_k = true$ **then**

if $side\left({}^{(t)}\mathbf{r} + \mathbf{u}_k\right) = -1$ **then**

$Contact_{k+1} \leftarrow true$

$Separation_{k+1} \leftarrow false$

$\mathbf{r}_{k+1}^* \leftarrow nearestPoint\left({}^{(t)}\mathbf{r} + \mathbf{u}_k\right)$

if $side\left({}^{(t)}\mathbf{r} + \mathbf{u}_k\right) = +1$ **then**

if $\mathbf{F}_{k+1} \cdot \mathbf{n} < 0$ **then**

$Contact_{k+1} \leftarrow false$

$Separation_{k+1} \leftarrow {}^{(t)}Contact$

else

$Contact_{k+1} \leftarrow true$

$Separation_{k+1} \leftarrow false$

$\mathbf{r}_{k+1}^* \leftarrow nearestPoint\left({}^{(t)}\mathbf{r} + \mathbf{u}_k\right)$

else

if ${}^{(t)}Contact = true$ **then**

if $side\left({}^{(t)}\mathbf{r} + \mathbf{u}_k\right) = -1$ **then**

```

     $Contact_{k+1} \leftarrow true$ 
     $Separation_{k+1} \leftarrow false$ 
     $\mathbf{r}_{k+1}^* \leftarrow nearestPoint\left({}^{(t)}\mathbf{r}\right)$ 
    if  $side\left({}^{(t)}\mathbf{r} + \mathbf{u}_k\right) = +1$  then
         $Contact_{k+1} \leftarrow false$ 
         $Separation_{k+1} \leftarrow true$ 
    else
        if  $\exists intersectionPoint\left({}^{(t)}\mathbf{r}, {}^{(t)}\mathbf{r} + \mathbf{u}_k\right)$  then
             $Contact_{k+1} \leftarrow true$ 
             $Separation_{k+1} \leftarrow false$ 
             $\mathbf{r}_{k+1}^* \leftarrow intersectionPoint\left({}^{(t)}\mathbf{r}, {}^{(t)}\mathbf{r} + \mathbf{u}_k\right)$ 
        else
             $Contact_{k+1} \leftarrow false$ 
             $Separation_{k+1} \leftarrow false$ 

```

Нормаль \mathbf{n}_{k+1} задаётся как внешняя единичная нормаль к поверхности в точке \mathbf{r}_{k+1}^* . Если какие-то координаты контактного узла зафиксированы первыми краевыми условиями, то соответствующие компоненты нормали тоже зануляются.

3. Если выполняются условия завершения итераций

$$\begin{aligned} |\Delta \mathbf{F}_{k+1} - \Delta \mathbf{F}_k| / |\mathbf{F}| &< \Delta^F, \\ |\mathbf{r}_{k+1}^* - \mathbf{r}_k^*| &< \Delta^r, \end{aligned} \quad (3.8)$$

то итерации для данного узла можно завершать, иначе переход к пункту 1.

4. После завершения итераций по всем нелинейностям

$$\begin{aligned} {}^{(t+\Delta t)}Contact &\leftarrow Contact_{k+1}, {}^{(t+\Delta t)}Separation \leftarrow Separation_{k+1}, \\ {}^{(t+\Delta t)}\mathbf{F} &\leftarrow \mathbf{F}_{k+1}, {}^{(t+\Delta t)}\mathbf{r}^* \leftarrow \mathbf{r}_{k+1}^*, {}^{(t+\Delta t)}\mathbf{n} \leftarrow \mathbf{n}_{k+1} \end{aligned} \quad (3.9)$$

С учётом дополнительных узловых сил контакта, в схеме с коррекцией к глобальному вектору невязок \mathbf{R} , соответствующему (2.30), добавляются узловые локальные векторы

$$\hat{\mathbf{R}}^{contact} = {}^{(t)}\mathbf{F}, \quad (3.10)$$

которые рассчитываются в конце предыдущего шага.

4. Решение СЛАУ (не получилось)

Чтобы подробить сетку, необходим эффективный решатель СЛАУ.

Реализовано разложение симметричной матрицы в профильном и разреженном строчно-столбцовом, блочном и не блочном форматах. Реализовано переупорядочение узлов сетки методом вложенных сечений [11] и Катхилла – Макки [11].

Портреты исходной матрицы жёсткости, которая получается при решении задачи вдавливания жёсткого шара в полупространство, после переупорядочений и после разложения изображены на рисунке 1. Характеристики переупорядочивания отображены в таблице 1. Время переупорядочивания, построения портрета и разложения отображено в таблице 2. Контактные узлы сетки во всех случаях помещаются в конец матрицы.

Вычисления производились на компьютере с процессором Intel Core2 Duo E7200 @ 2.53GHz и памятью DDR2 800MHz.

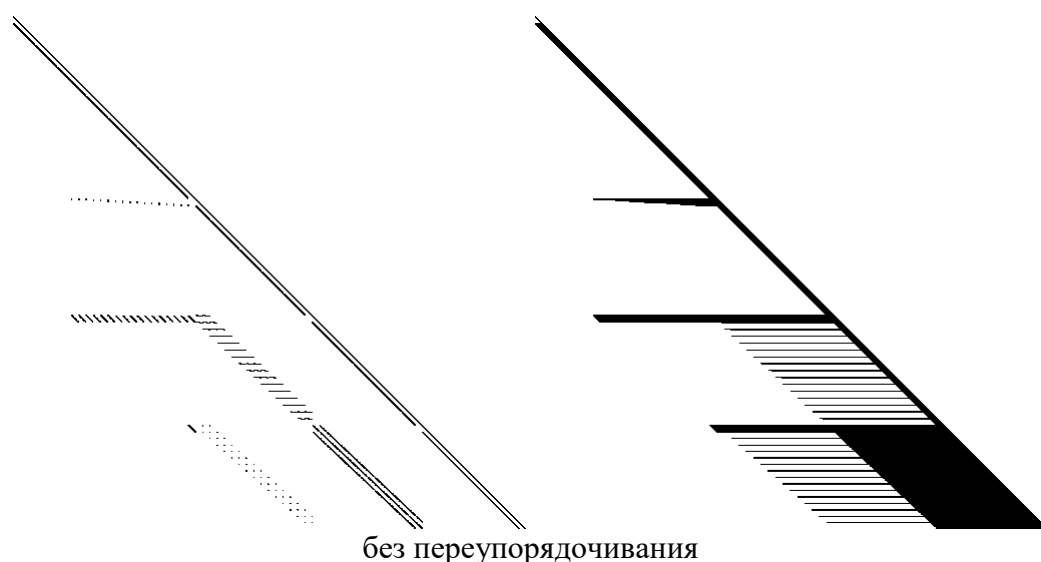




Рисунок 1. Портреты матрицы жёсткости (слева) и множителя предобуславливания (справа) с различной нумерацией узлов сетки.

Таблица 1 – Характеристики переупорядочивания матрицы G с размерностью 60891×60891 .

способ переупорядочивания	$ G $	заполненность G , %	$ L $	заполненность L , %
–	2282595	0.0616	135594339	3.6571
Катхилла – Макки			150101160	4.0483
метод вложенных сечений			69654039	1.8786

Таблица 2 – Время переупорядочивания, построения портрета и разложения.

способ переупорядочивания	переупорядочивание, с	формат, метод разложения	построение портрета, с	разложение, с
–	0	профильный, LL^T	$2.86 \cdot 10^{-3}$	275
		блочный профильный, LDL^T	$8.22 \cdot 10^{-4}$	188
Катхилла – Макки	$6.56 \cdot 10^{-2}$	профильный, LL^T	$1.86 \cdot 10^{-3}$	336
		блочный профильный, LDL^T	$6.80 \cdot 10^{-4}$	222
метод вложенных сечений	0.151	CSR, LL^T	9.89	452
		блочный CSR, LDL^T	0.446	116

Блочное \mathbf{LDL}^T разложение производилось по формулам [12]:

$$\begin{aligned} L_{ij} &= \left(G_{ij} - \sum_{k=1}^{j-1} L_{ik} D_k L_{jk}^T \right) D_j^{-1}, \\ D_i &= G_{ii} - \sum_{k=1}^{i-1} L_{ik} D_k L_{ik}^T, \end{aligned} \quad (4.1)$$

где матричное произведение $L_{ik} D_k$ запоминается для ускорения разложения и для решения треугольной СЛАУ. Чтобы тратить меньше ресурсов на определение ненулевых блоков строки i , при скалярном произведении i -й строки на j -е строки составлялся плотный целочисленный вектор s индексов ненулевых блоков i -й строки либо индексов -1 для нулевых блоков строки i .

В процессе не блочного \mathbf{LL}^T разложения, чтобы тратить меньше ресурсов на определение ненулевых блоков строки i , при скалярном произведении i -й строки на j -е строки составлялся плотный вещественный вектор s элементов i -й строки.

Таким образом, простейшие способы не работают: разделитель в реализованном варианте метода вложенных сечений получается плохого качества; улучшение локальности по памяти блочного формата не даёт существенного выигрыша времени разложения.

5. Тестирование

5.1. Вдавливание жёсткого шара в упругое полупространство

Абсолютно жёсткий шар вдавливается в упругое полупространство (рисунок 2).

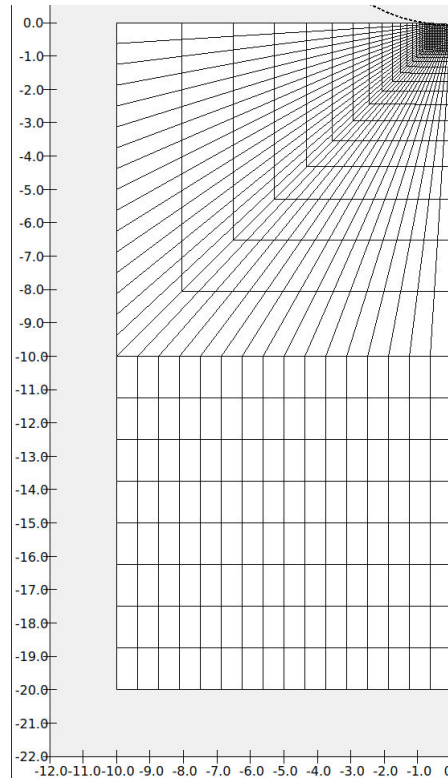


Рисунок 2. Сетка в сечении $y = 0$.

Пусть E – модуль упругости полупространства, ν – коэффициент Пуассона полупространства, R – радиус шара, d – сближение удалённых точек шара и полупространства. При малой величине d , по сравнению R , эта задача имеет точное аналитическое решение [15, с. 108-109]:

$$a = \left(\frac{3R^*}{4E^*} P \right)^{1/3} \quad (5.1)$$

$$p(r) = p_0 \sqrt{1 - \left(\frac{r}{a} \right)^2} \quad (5.2)$$

$$p_0 = p(0) = \frac{3P}{2\pi a^2} \quad (5.3)$$

$$d = \left(\frac{3}{4E^*} P \right)^{2/3} / (R^*)^{1/3} \quad (5.4)$$

$$E^* = \frac{E}{1 - \mu^2}, R^* = R, \quad (5.5)$$

где a – радиус области контакта, P – общая сила контактного взаимодействия, $p(r)$ – контактное давление на поверхности полупространства, p_0 – максимальное контактное давление (в центре зоны контакта), E^* – приведённый модуль упругости, R^* – относительная кривизна. В данном тесте параметром является d , поэтому P определяется соотношением (5.4).

Напряжения в цилиндрической системе координат, по отношению к среднему давлению

$$p_m = \frac{P}{\pi a^2} \quad (5.6)$$

определяются соотношениями [13, 14]:

$$\frac{\sigma_\varphi}{p_m} = - \left\{ \frac{1-2\nu}{2} \frac{a^2}{r^2} \left(1 - \frac{z^3}{w^3} \right) + \frac{3z}{2w} \left[2\nu + (1-\nu) \frac{w^2}{a^2 + w^2} - (1+\nu) \frac{w}{a} \arctan\left(\frac{a}{w}\right) \right] \right\}, \quad (5.7)$$

$$\frac{\sigma_z}{p_m} = - \frac{3}{2} \frac{z^3}{w^3} \frac{a^2 w^2}{w^4 + a^2 z^2}, \quad (5.8)$$

$$\frac{\sigma_r}{p_m} = - \left(\frac{\sigma_\varphi}{p_m} + \frac{\sigma_z}{p_m} \right) - 3 \frac{z}{w} (1+\nu) \left[1 - \frac{w}{a} \arctan\left(\frac{a}{w}\right) \right], \quad (5.9)$$

$$\frac{\sigma_{rz}}{p_m} = - \frac{3}{2} \frac{r w z^2}{w^4 + a^2 z^2} \frac{a^2}{a^2 + w^2}, \quad (5.10)$$

где

$$w = \sqrt{\frac{1}{2} \left[(r^2 + z^2 - a^2) + \sqrt{(r^2 + z^2 - a^2)^2 + 4a^2 z^2} \right]} \quad (5.11)$$

и подразумевается $z > 0$.

Главные напряжения определяются соотношениями

$$\sigma_{1,3} = \frac{\sigma_r + \sigma_z}{2} \pm \left[\left(\frac{\sigma_r - \sigma_z}{2} \right)^2 + \sigma_{rz}^2 \right]^{1/2} \quad (5.12)$$

$$\sigma_2 = \sigma_\varphi \quad (5.13)$$

Сравнение численного и аналитического решения для параметров из таблиц 3, 4 приведено на рисунках 3–6, на которых изолинии главных напряжений, разделенных на среднее давление, строятся при помощи gnuplot. Значение p_m вычисляется аналитически. Сетка строится для четвертинки параллелепипеда со сгущением к центру области контакта, как показано на рисунке 4. В плоскостях $x=0$ и $y=0$ задаются однородные краевые условия первого рода $u_1=0$ и $u_2=0$ соответственно. В плоскости $z=-20$ задаётся краевое условие $u_3=0$.

Таблица 3 – Параметры задачи.

E	модуль Юнга	10^{10} Па
R	радиус шара	5
ν	коэффициент Пуассона	0.3, 0.45
d	сближение шара и полупространства	0.05
$L_x \times L_y \times L_z$	размеры параллелепипеда	$20 \times 20 \times 20$

Таблица 4 – Параметры численного решения.

количество конечных элементов		18432
<i>steps</i>	количество шагов	32
условия завершения итераций (контакт)		$ \Delta \mathbf{F}_{k+1} - \Delta \mathbf{F}_k / \mathbf{F} < 10^{-10},$ $ \mathbf{r}_{k+1}^* - \mathbf{r}_k^* < 10^{-14}$

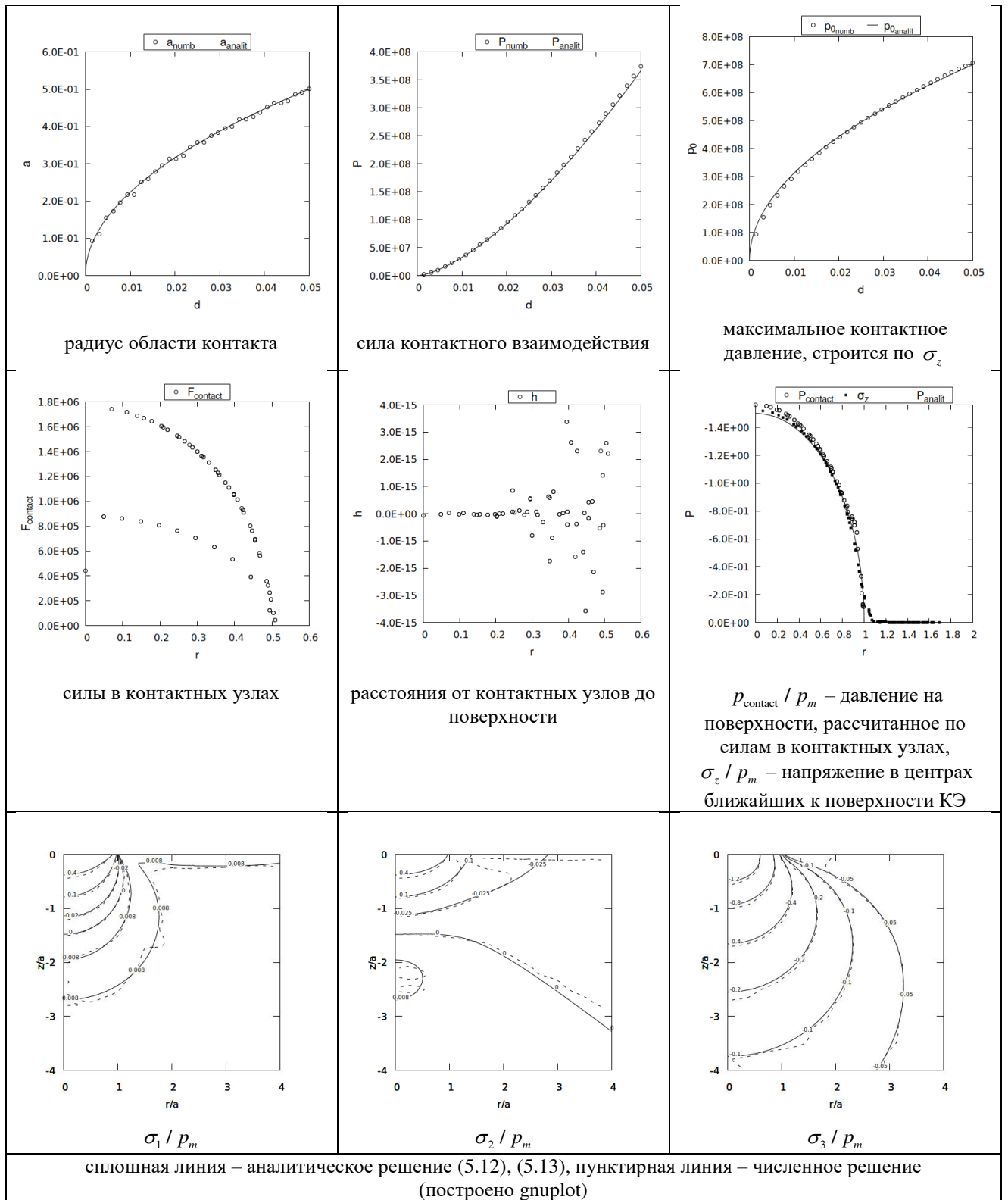


Рисунок 3. $\nu = 0.3$, без "коррекции"

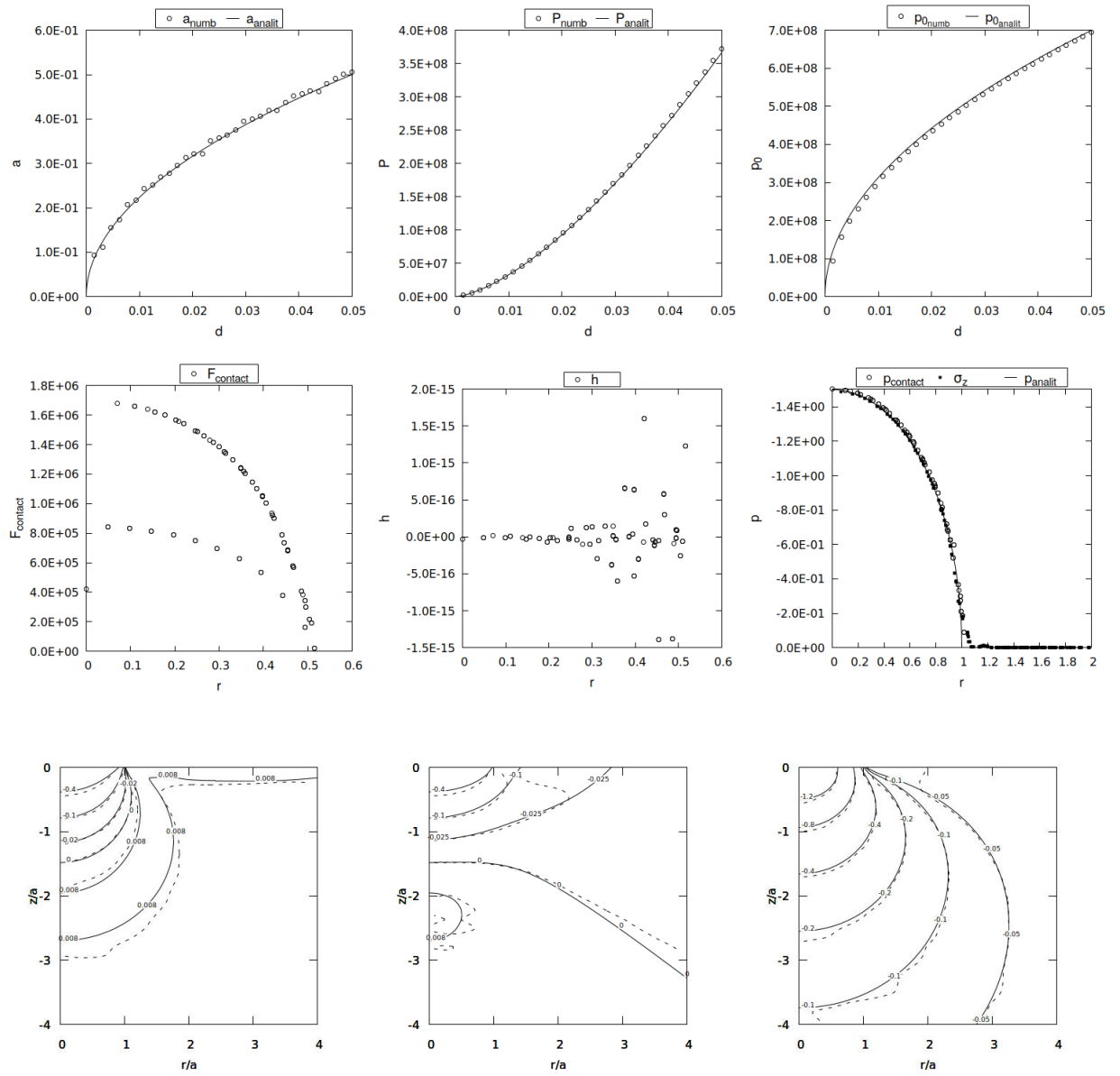


Рисунок 4. $\nu = 0.3$, с "коррекцией"

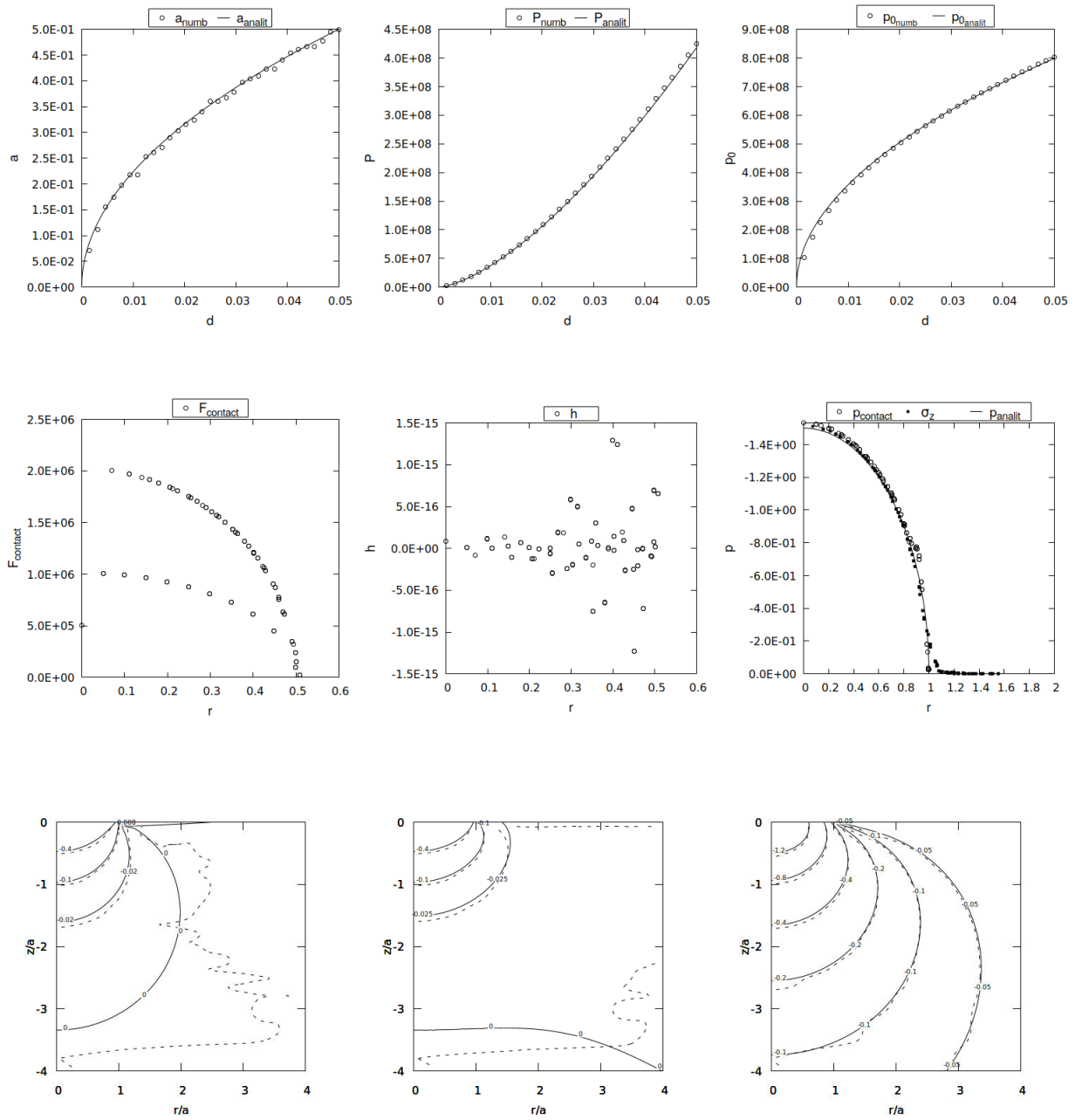


Рисунок 5. $\nu = 0.45$, без "коррекции"

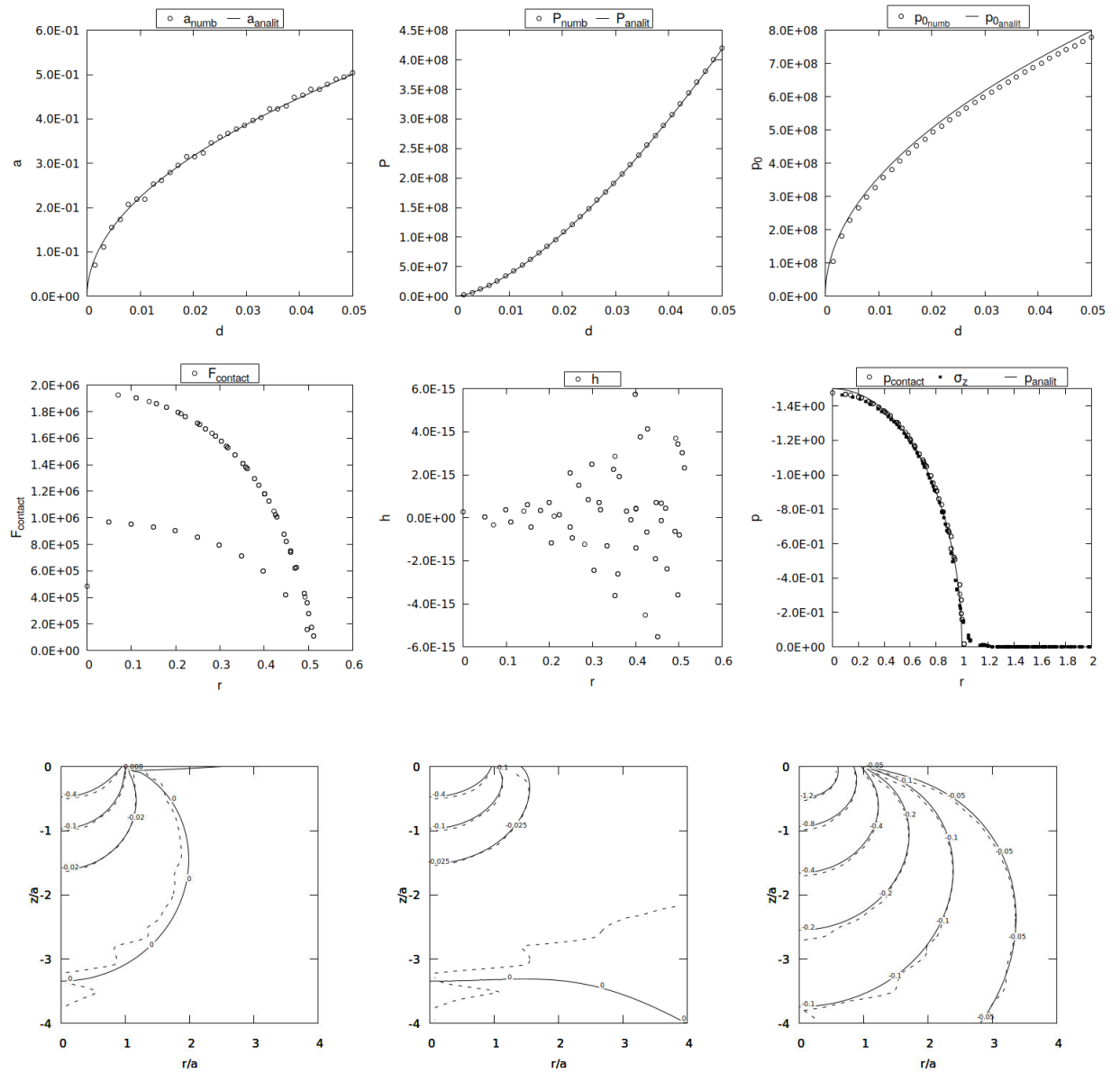


Рисунок 6. $\nu = 0.45$, с "коррекцией"

Таким образом, численное решение имеет большую погрешность, p_{contact} не совпадает с σ_z в области контакта.

5.2. Вдавливание жёсткого шара в упруго-пластичное полупространство

Абсолютно жёсткий шар вдавливается в идеально пластичное полупространство (нагружение), затем возвращается обратно (разгрузка). К параметрам из таблиц 3, 4 добавляется предел текучести σ^Y и условия завершения итераций для учёта пластичности, приведённые в таблицах 5, 6. Пластичность задана идеальная, без наклона, т.е.

$$\Phi(q) = \sigma^Y = \text{const.} \quad (5.14)$$

Таблица 5 – Параметры задачи.

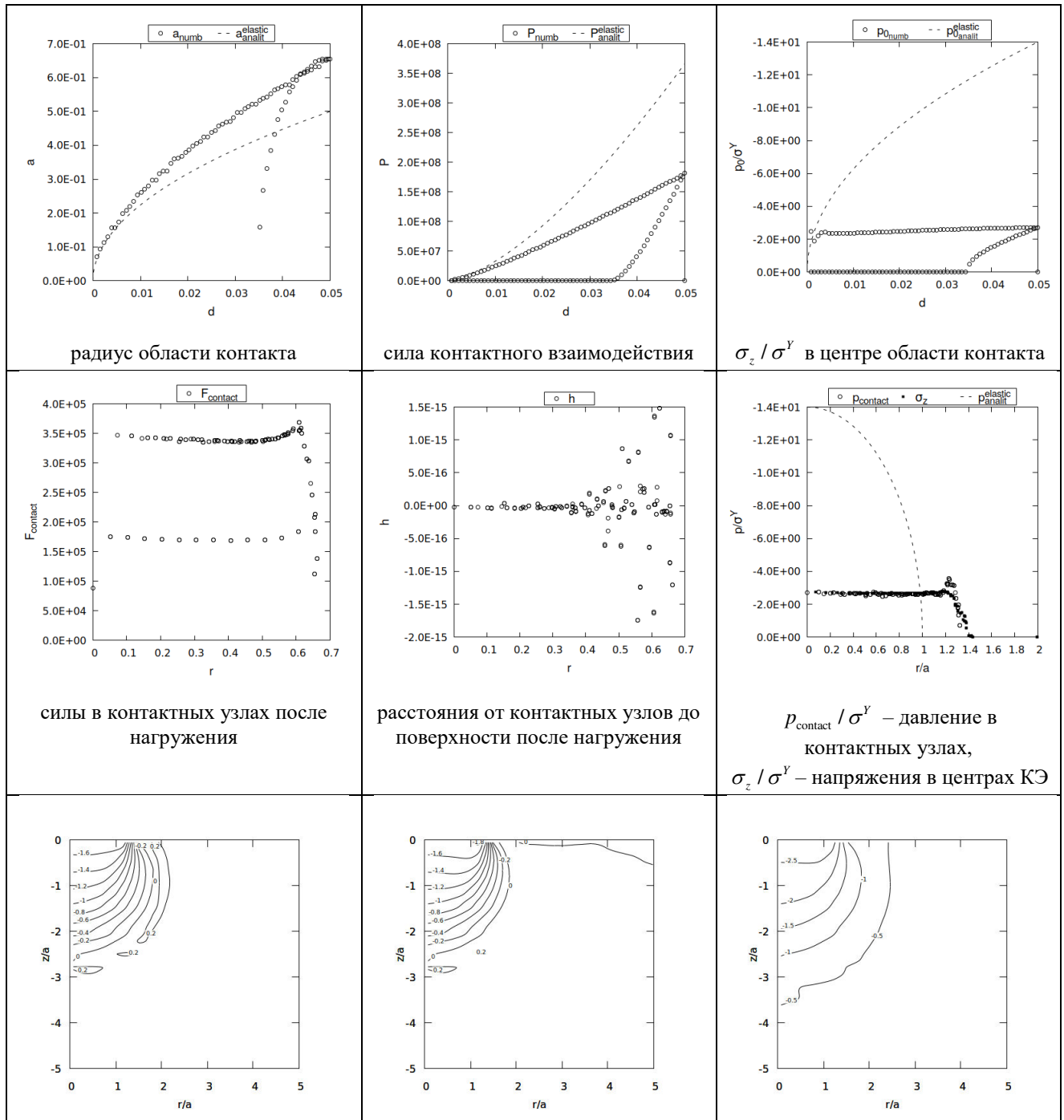
E	модуль Юнга	10^{10} Па
R	радиус шара	5
ν	коэффициент Пуассона	0.3
σ^Y	предел текучести	$5 \cdot 10^7$
d	сближение шара и полупространства	0.05
$L_x \times L_y \times L_z$	размеры параллелепипеда	$20 \times 20 \times 20$

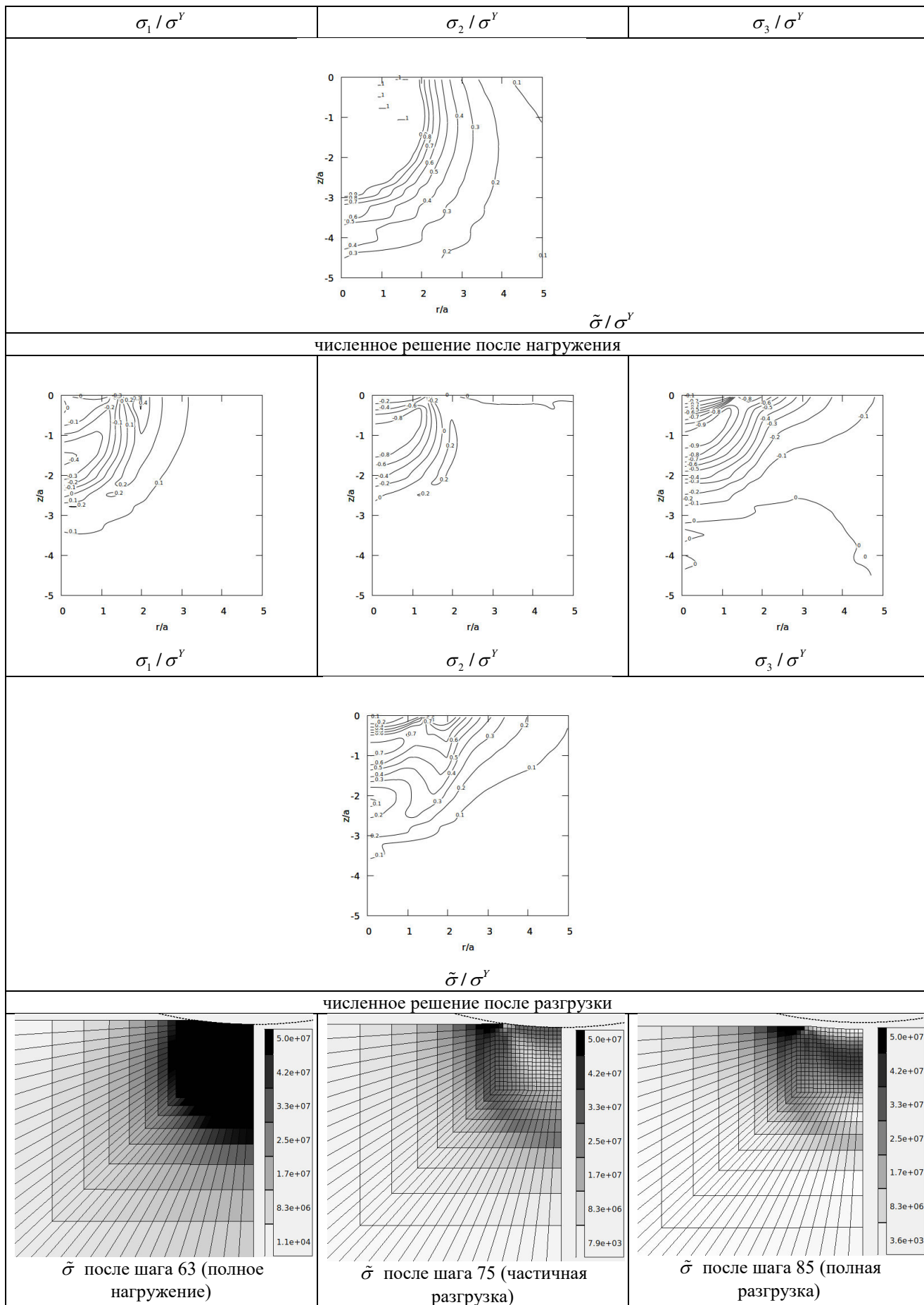
Таблица 6 – Параметры численного решения.

количество конечных элементов		18432
$steps_{\text{load}} \cdot steps_{\text{unload}}$	количества шагов нагружения и разгрузки	$steps_{\text{load}} = 64$ $steps_{\text{unload}} = 65$
условия завершения итераций (контакт)		$ \Delta \mathbf{F}_{k+1} - \Delta \mathbf{F}_k / \mathbf{F} < 10^{-10},$ $ \mathbf{r}_{k+1}^* - \mathbf{r}_k^* < 10^{-14}$
условия завершения итераций (пластичность)		$\Delta_k^\sigma = 10^{-10},$ $\Delta_k^\varepsilon = 10^{-10}.$

Численное решение изображено на рисунке 7. Характеристики итерационного процесса изображены на рисунке 8. Итерации по контакту и пластичности происходят параллельно. Существенная разгрузка КЭ, в которых задана идеально пластичная матрица $\tilde{\mathbf{D}}$, приводит к плохой сходимости итераций или расходимости, что зависит от величины шага и коэффициента ω_{elastic} (из (2.23)). В случае, когда разгрузка с матрицей $\tilde{\mathbf{D}} \neq \mathbf{D}$ снова приводит к активному нагружению, реализованный итерационный процесс в любом случае

не сходится. В связи с этим, чтобы избежать возможных перезапусков теста, на первом шаге разгрузки матрицы $\tilde{\mathbf{D}}$ для всех конечных элементов принудительно заданы упругие ($\tilde{\mathbf{D}}=\mathbf{D}$). При этом точно так же происходит итерационный процесс для учёта пластичности, но с упругими матрицами. (временный костыль, можно сделать чтобы шаг перерешивался занова с упругими матрицами в случае расходимости и/или чтобы с учётом разгрузок перестраивалась матрица $\tilde{\mathbf{D}}$ после 0-й итерации; с упругими матрицами всегда сходится).





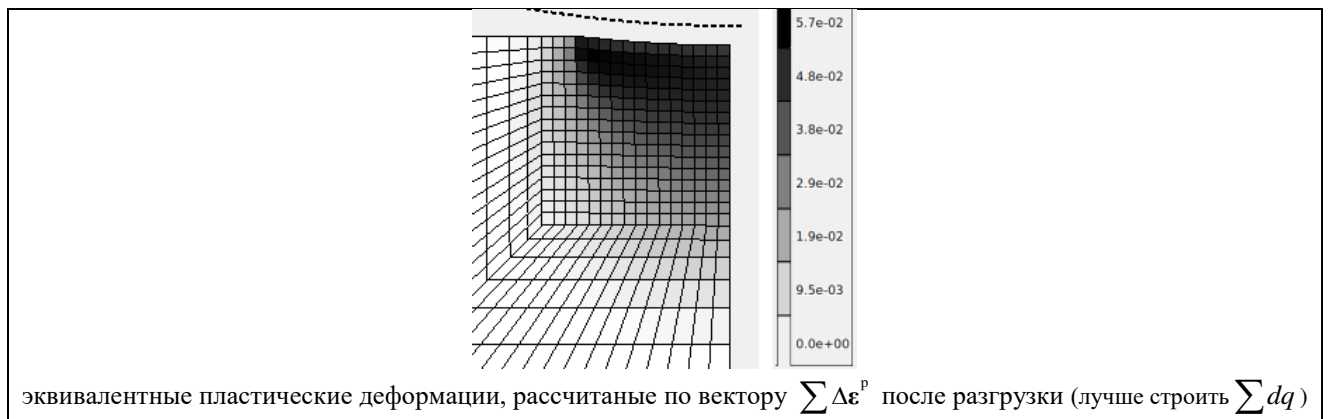


Рисунок 7. Численное решение без "коррекции"

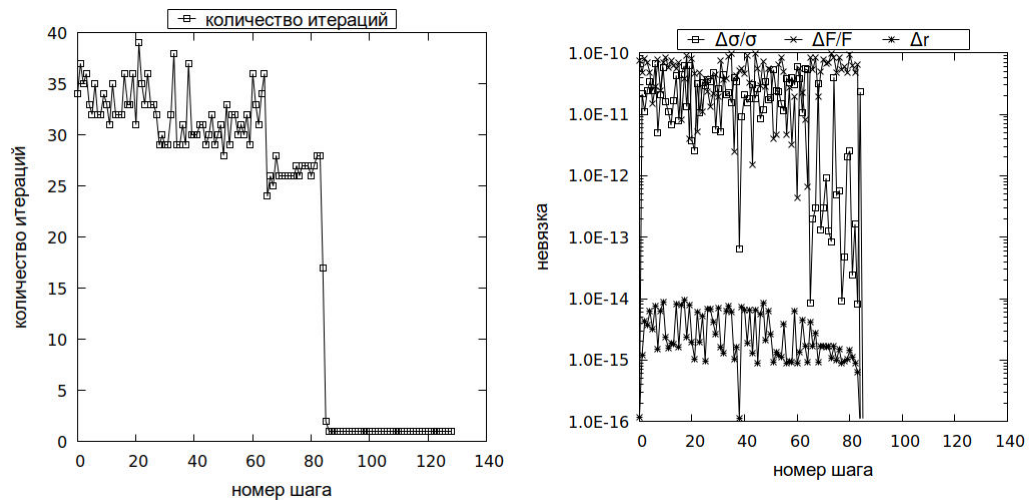
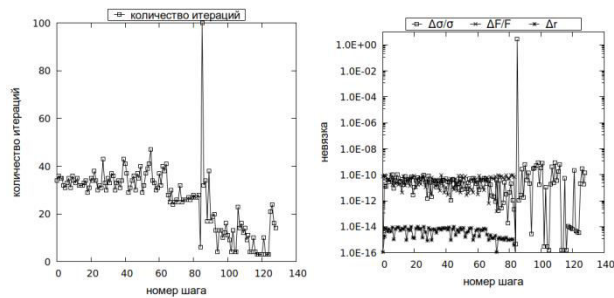


Рисунок 8. Характеристики итерационного процесса.

В полученном численном решении значение $p_{\text{contact}} / \sigma^y$ в центре области контакта близко к значению 3, что соответствует соотношению Табора, которое определяет верхнюю границу давления внедрения, достигаемую, когда на всей области контакта происходит пластическое течение (в случае "полностью" пластичного состояния) [15, с. 202]. На границе области контакта возникает скачок значений p_{contact} , но нет скачка значений σ_z . Численное решение в работе [13] (геометрическая нелинейность updated Lagrangian method, деформационная теория пластичности? с поверхностью текучести Треска) содержит скачок значений σ_z .

В численном решении из работы [14] (ABAQUS, поверхность текучести Мизеса) после разгрузки, в некоторых случаях, есть зоны пластичности вблизи центра и рядом с границей области контакта. В данном случае получается зона пластичности только рядом с границей, а в центре остаточные напряжения близки к нулю.

Решение "с коррекцией" не сошлось на первом шаге после отлипания, т.е. там какие-то проблемы.



5.3. Вдавливание жёсткого цилиндра в упругое полупространство

Абсолютно жёсткий цилиндр вдавливается в упругое полупространство (рисунок 9).

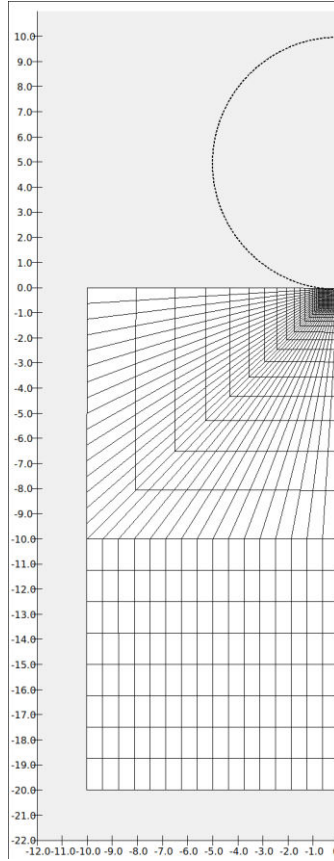


Рисунок 9. Сетка.

Пусть E – модуль упругости полупространства, ν – коэффициент Пуассона полупространства, R – радиус цилиндра, d – сближение удалённых точек цилиндра и полупространства. При малой величине d , по сравнению R , эта задача имеет точное аналитическое решение [15, с. 119-121; 16, с. 56]:

$$a = \sqrt{\frac{4R^*}{\pi E^*}} P, \quad (5.15)$$

$$p(x) = \frac{2P}{\pi a} \sqrt{1 - \left(\frac{x}{a}\right)^2} = \sqrt{\frac{E^*}{\pi R^*}} P \sqrt{1 - \frac{\pi E^*}{4PR^*} x^2}, \quad (5.16)$$

$$p_0 = p(0) = \sqrt{\frac{E^*}{\pi R^*}} P, \quad (5.17)$$

$$E^* = \frac{E}{1 - \mu^2}, R^* = R, \quad (5.18)$$

$$\begin{aligned} d &= \frac{P(1 - \mu^2)}{\pi E} \left(2 \ln \frac{4L_y}{a} - \frac{\mu}{1 - \mu} \right) = \\ &= \frac{P(1 - \mu^2)}{\pi E} \left(\ln \left((2L_y)^2 \frac{\pi E^*}{R^* P} \right) - \frac{\mu}{1 - \mu} \right), \end{aligned} \quad (5.19)$$

где a – полуширина области контакта, P – общая сила контактного взаимодействия, разделенная на длину цилиндра, $p(x)$ – контактное давление на поверхности полупространства, p_0 – максимальное контактное давление (в центре зоны контакта), E^* – приведённый модуль упругости, R^* – относительная кривизна, L_y – длина цилиндра. В данном тесте параметром является d , поэтому P определяется соотношением (5.19) [16, с. 56]. Это соотношение является точным, в отличие от приведённого в [15, с. 152].

Напряжения на участке контакта (в [15] опечатка)

$$\sigma_x = \sigma_z = -p(x) \quad (5.20)$$

Напряжения на оси y

$$\begin{aligned} \sigma_x &= -\frac{p_0}{a} \left((a^2 + 2z^2)(a^2 + z^2)^{-0.5} - 2z \right) \\ \sigma_y &= -p_0 a (a^2 + z^2)^{-0.5} \\ \sigma_z &= \mu(\sigma_x + \sigma_y) \end{aligned} \quad (5.21)$$

Сравнение численного и аналитического решения для параметров из таблицы 7 приведено на рисунках 10–13.

Таблица 7 – Параметры.

$L_x \times L_y \times L_z$	размеры параллелепипеда	20×1×20
R	радиус цилиндра	5
$L(=L_y)$	длина цилиндра	1
d	сближение шара и полупространства	0.05
E	модуль Юнга	10^{10} Па
μ	коэффициент Пуассона	0.3, 0.45
количество конечных элементов		14336
$steps$	количество шагов	32
условия завершения итераций (контакт)		$ \Delta \mathbf{F}_{k+1} - \Delta \mathbf{F}_k / \mathbf{F} < 10^{-10},$ $ \mathbf{r}_{k+1}^* - \mathbf{r}_k^* < 10^{-14}$

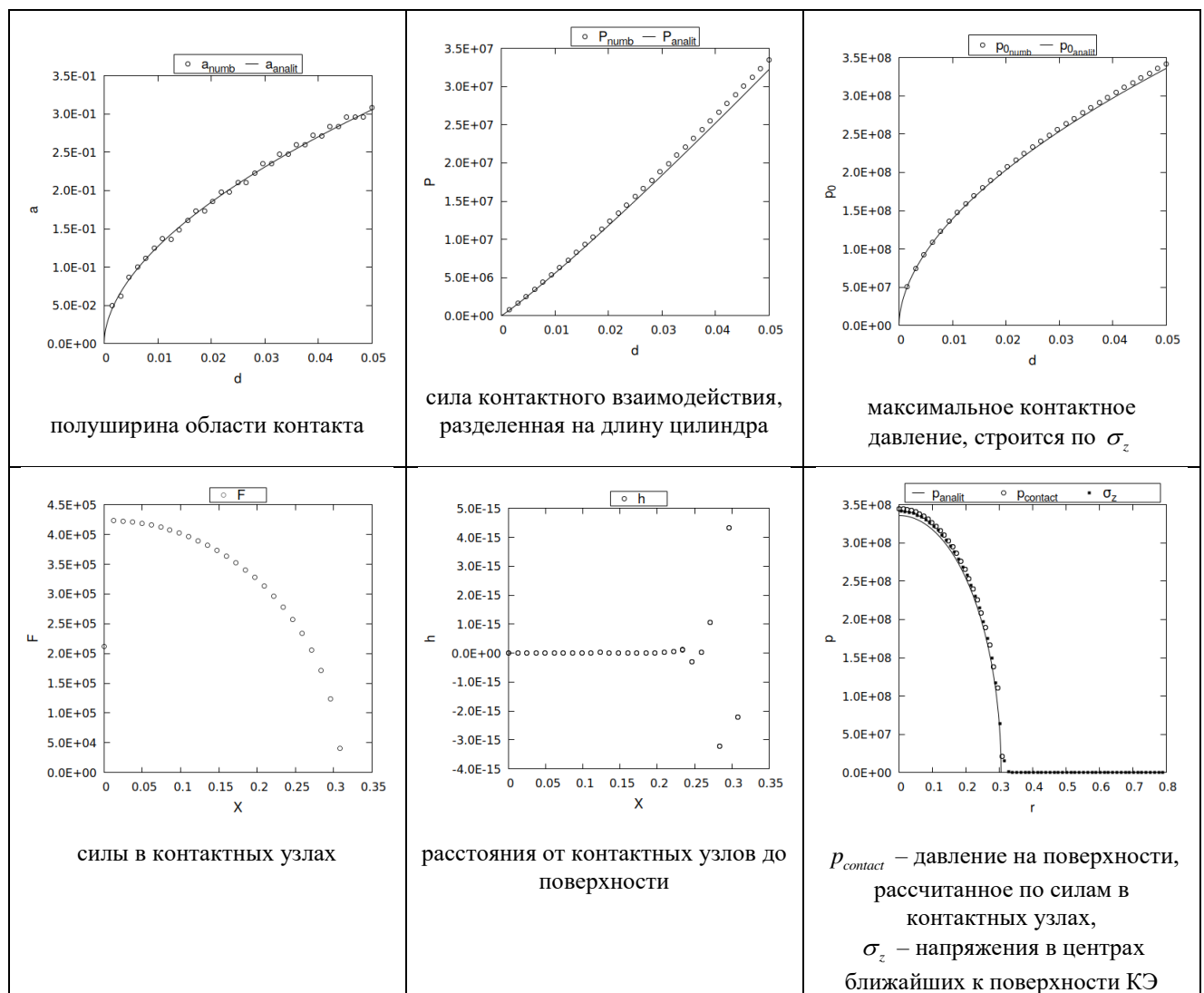


Рисунок 10. $\nu = 0.3$, без "коррекции"

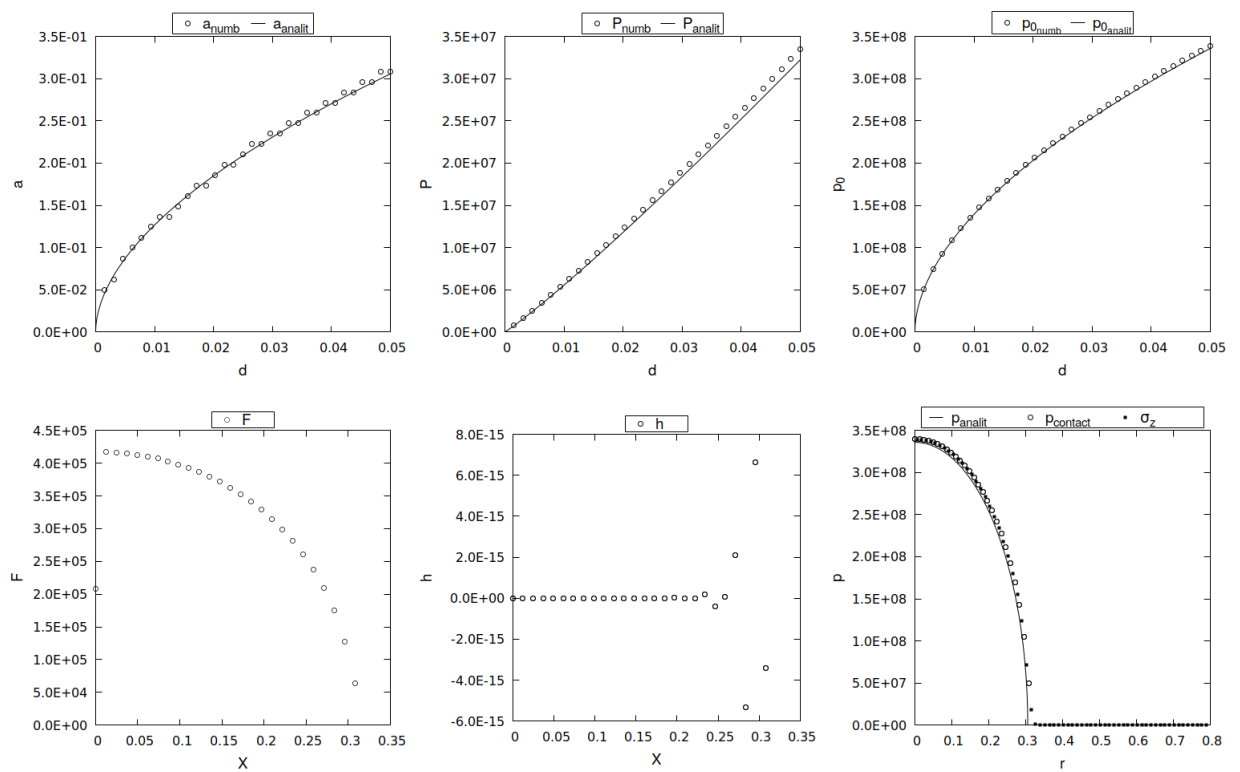


Рисунок 11. $\nu = 0.3$, с "коррекцией"

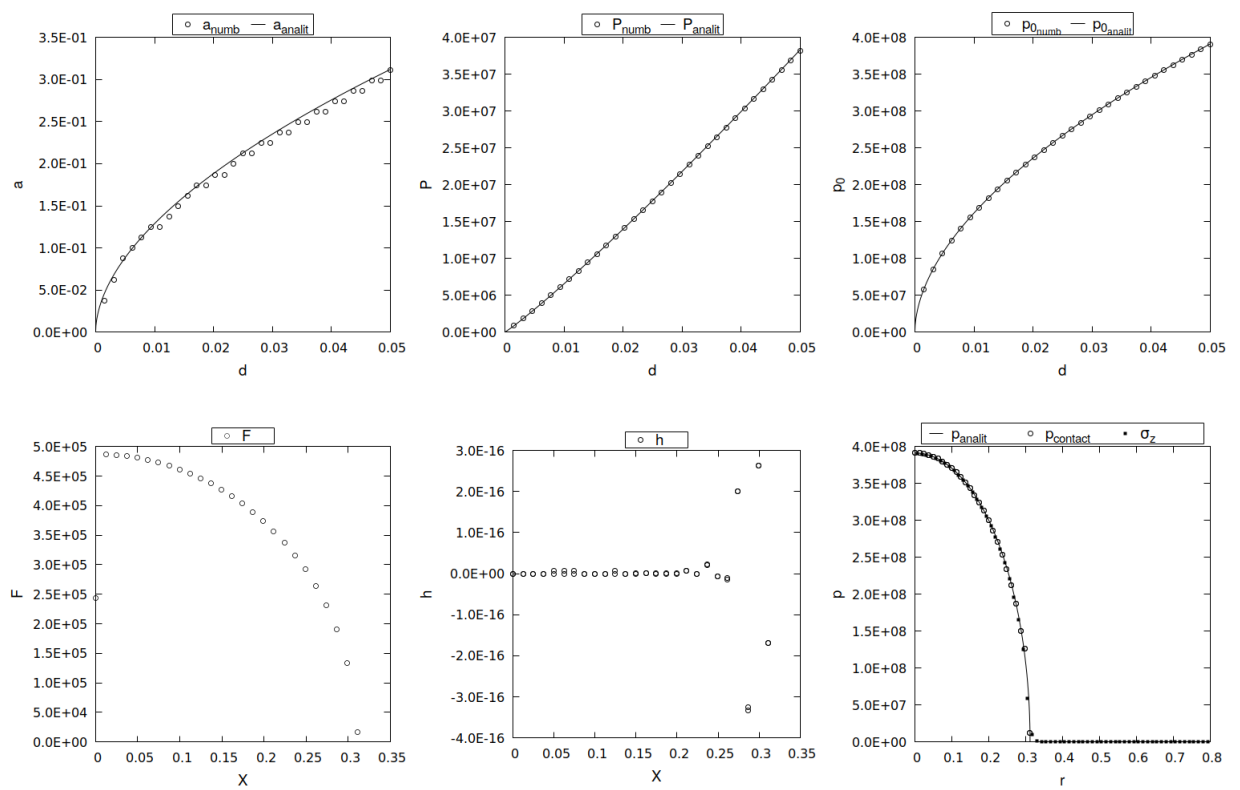


Рисунок 12. $\nu = 0.45$, без "коррекции"

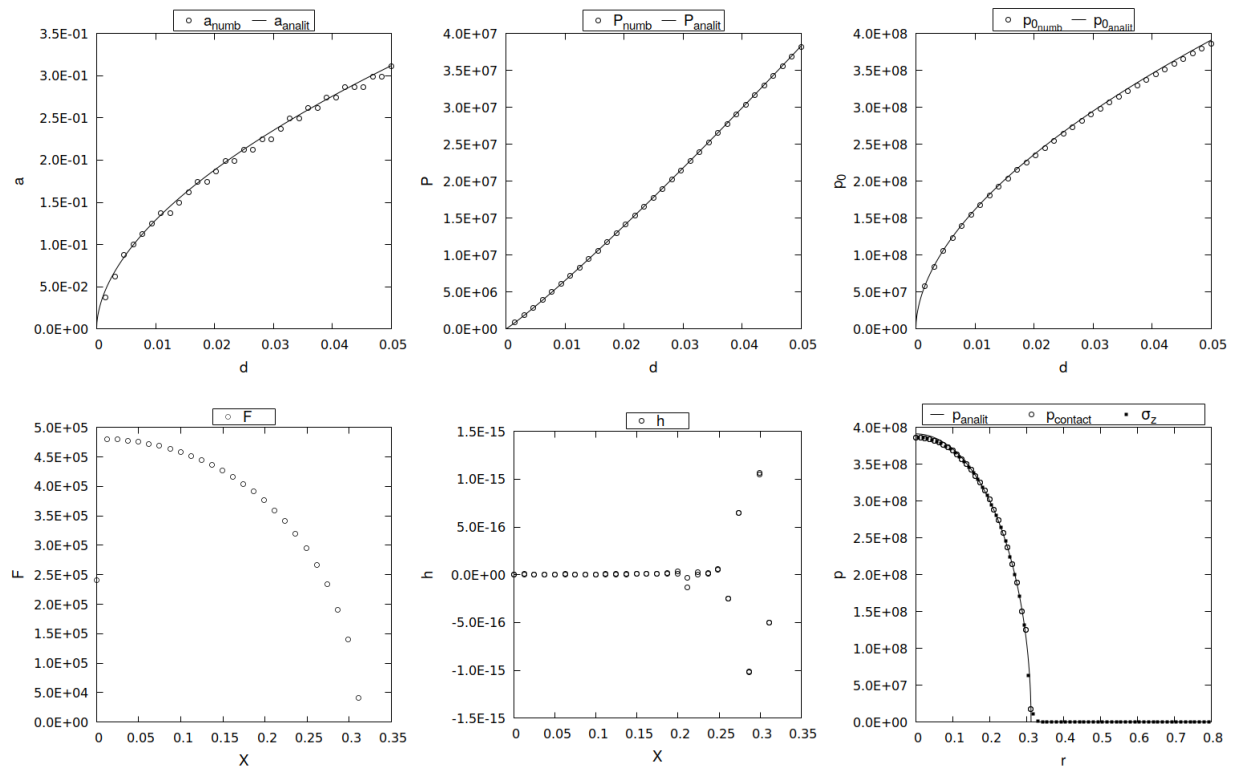


Рисунок 13. $\nu = 0.45$, с "коррекцией"

Напряжения в произвольной точке [15, с. 121] можно сравнить, но не сравнивал.

Для случая плоско-деформированного состояния (в отличие от плоско-напряжённого) требуется значительно переделывать решатель (поэтому задача вдавливания цилиндра в упруго-пластичное полупространство не решена, плюс она менее популярна и трудно будет проверить правильность решения).

5.4. Вдавливание жёсткого шара в упруго-пластичное полупространство: степенное упрочнение

Абсолютно жёсткий шар вдавливается в упруго-пластичное полупространство (нагружение), затем возвращается обратно (разгрузка).

Общую силу контактного взаимодействия P , величину сближения удалённых точек δ (глубину инденсации) и площадь контактной поверхности A можно представить в безразмерном виде [1]:

$$\begin{aligned}\bar{P} &= P / P_Y \\ \bar{A} &= A / A_Y \\ \bar{\delta} &= \delta / \delta_Y\end{aligned}\tag{5.22}$$

где P_Y, A_Y, δ_Y – значения, при которых начинается пластическое течение:

$$\begin{aligned}P_Y &= \frac{9\pi^3}{16} c^3 Y R^2 \left(\frac{E^*}{Y} \right)^{-2}, \\ A_Y &= \frac{9\pi^3}{16} c^2 R^2 \left(\frac{E^*}{Y} \right)^{-2}, \\ \delta_Y &= \frac{9\pi^2}{16} c^2 R \left(\frac{E^*}{Y} \right)^{-2},\end{aligned}\tag{5.23}$$

$$\begin{aligned}c &= 1.08 \\ E^* &= \frac{E}{1-\nu^2}\end{aligned}\tag{5.24}$$

c – константа для случая критерия пластического течения Мизеса, E^* – приведённый модуль упругости, R – радиус шара, E – модуль упругости полупространства, ν – коэффициент Пуассона полупространства, Y – предел текучести полупространства.

В [1] приведена аппроксимация численного значения величины остаточного сближения удалённых точек в случае идеально пластичного материала (т.е. при $n = 0$, без упрочнения)

$$\bar{\delta}_{\text{res}} = \bar{\delta}_{\text{max}} \cdot (1 - \bar{\delta}_{\text{max}}^{-1/3})(1 - \bar{\delta}_{\text{max}}^{-2/3}) \quad (5.25)$$

и аппроксимация зависимости значений

$$\begin{aligned} \tilde{P} &= P / P_{\text{max}}, \\ \tilde{A} &= A / A_{\text{max}}, \end{aligned} \quad (5.26)$$

от значения

$$\tilde{\delta} = (\bar{\delta} - \bar{\delta}_{\text{res}})(\bar{\delta}_{\text{max}} - \bar{\delta}_{\text{res}}), \quad (5.27)$$

в процессе разгрузки, вида

$$\tilde{P} = \tilde{\delta}^{\alpha}, \quad (5.28)$$

$$\tilde{A} = \frac{1}{\beta} \left(1 - (1 - \beta)^{\tilde{\delta}} \right), \quad (5.29)$$

где

$$\begin{aligned} \alpha &= \frac{3}{2} \bar{\delta}_{\text{max}}^{-0.036}, \\ \beta &= 0.9 \left(1 - \bar{\delta}_{\text{max}}^{-0.036} \right). \end{aligned} \quad (5.30)$$

В случае изотропно-упрочняющегося материала со степенным упрочнением с показателем n в [1] приведена аппроксимация (вместо (5.25))

$$\bar{\delta}_{\text{res}} = \bar{\delta}_{\text{max}} \cdot \left(1 - \left[\xi^2 \left(\frac{\delta_{\text{max}}}{2R} \right)^{n-1} \left(\frac{E^*}{Y} \right)^{2(n-1)} \right]^{1/3} \right) \left(1 - \left[\xi^2 \left(\frac{\delta_{\text{max}}}{2R} \right)^{n-1} \left(\frac{E^*}{Y} \right)^{2(n-1)} \right]^{2/3} \right) \quad (5.31)$$

где

$$\xi = \frac{3\pi c}{4\sqrt{2}} 0.3^n. \quad (5.32)$$

Материал с изотропным упрочнением задаётся диаграммой *одноосного* растяжения вида

$$\begin{aligned}\sigma &= F(\varepsilon) = E\varepsilon, \sigma < Y, \\ \sigma &= F(\varepsilon) = Y \cdot \left(\frac{\varepsilon}{\varepsilon_Y} \right)^n, \sigma \geq Y\end{aligned}\tag{5.33}$$

где $\varepsilon_Y = Y / E$. Соответствующая кривая деформирования $\tilde{\sigma} = \Phi(q)$ строится из соотношений

$$\Phi(q) = F(\varepsilon), \varepsilon - \frac{1}{E}F(\varepsilon) = q\tag{5.34}$$

$$\text{т.к. } \int d\varepsilon^p = \int d\tilde{\varepsilon}^p, (q \equiv \int d\tilde{\varepsilon}^p).$$

(В [3, с. 100] приведён другой способ, при котором строится просто аналогичная (5.33) диаграмма деформирования вида

$$\begin{aligned}\tilde{\sigma} &= F(\tilde{\varepsilon}) = 3G\tilde{\varepsilon}, \tilde{\sigma} < Y, \\ \tilde{\sigma} &= F(\tilde{\varepsilon}) = Y \cdot \left(\frac{\tilde{\varepsilon}}{\varepsilon_Y} \right)^n, \tilde{\sigma} \geq Y\end{aligned}\tag{5.35}$$

где $\varepsilon_Y = Y / 3G$. Этот способ задаёт отличное от (5.33) поведение материала, т.к. подстановка [3, с. 64]

$$\tilde{\varepsilon} = \varepsilon - \frac{1-2\nu}{3E}\sigma\tag{5.36}$$

в уравнения (5.33) приводит к соотношениям, отличным от (5.35) на участке $\tilde{\sigma} \geq Y$. Если пластичность в [1] реализована соотношениями (5.35), то этим можно объяснить расхождение результатов на рисунке 5 (ввиду отличия (5.35) от (5.34)). Ещё не проверено.)

Параметры задачи приведены в таблице 8.

Таблица 8 – Параметры задачи и сетки.

E	модуль Юнга	10^{10} Па
ν	коэффициент Пуассона	0.3
$\frac{E^*}{Y}$		110, 220, 550, 1100
$\bar{\delta}_{\max}$		1, 3, 6, 10, 15, 20, 30, 50, 70, 90, 110
n	коэффициент степенного упрочнения	0.0, 0.1, 0.2, 0.3, 0.4, 0.5
R	радиус шара	1
d	сближение шара и полупространства	$\bar{\delta}_{\max} \cdot \delta_Y$
$L_x \times L_y \times L_z$	размеры параллелепипеда	$\frac{L_x}{2} = \frac{L_y}{2} = \frac{L_z}{2} = 15 \cdot \sqrt{2Rd - d^2}$
$L1_x \times L1_y \times L1_z$	размеры подробного параллелепипеда, в котором сетка более подробная	$\frac{L1_x}{2} = \frac{L1_y}{2} = \frac{L1_z}{2} = 1.5 \cdot \sqrt{2Rd - d^2}$
$N \times N \times N$	разбиение подробного параллелепипеда	$N = 12$
q	коэффициент сгущения к подробному параллелепипеду	находится из уравнения $\frac{1 - q^{N-1}}{1 - q^N} = \frac{\frac{L_x}{2} - \frac{L1_x}{2}}{\frac{L_x}{2}}$
количество конечных элементов	7776	
$steps_{\text{load}}, steps_{\text{unload}}$	количества шагов нагружения и разгрузка	$steps_{\text{load}} = 110$ $steps_{\text{unload}} = 111$
условия завершения итераций (контакт)	$\Delta^F = 10^{-10}$ $\Delta^r = 10^{-14}$	
условия завершения итераций (пластичность)	$\Delta^\sigma = 10^{-10}$ $\Delta^\varepsilon = 10^{-10}$	

Сетка при $\frac{E^*}{Y} = 550, \bar{\delta}_{\max} = 110$ изображена на рисунке 14. Общее количество элементов сетки выбиралось из условия: время расчёта меньше 2 часов. Размер подробного параллелепипеда (в котором наиболее подробная сетка, в центре образца рядом с контактом), выбирался так, чтобы пластичная область находилась примерно в этом параллелепипеде. Общий размер образца выбирался в 10 раз больше, чем подробный параллелепипед. Коэффициент

разрядки выбирался из условия плавного перехода размеров конечных элементов из разреженных параллелепипедов в подробный параллелепипед.

При малых значениях $\frac{E^*}{Y}$ и $\bar{\delta}_{\max}$ общий размер образца становится гораздо меньше, чем R , ввиду малости d по сравнению с R в этом случае.

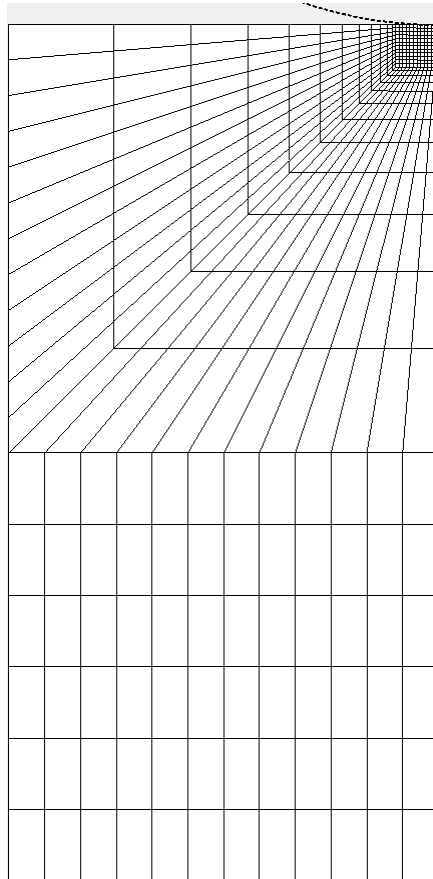


Рисунок 14. Сетка в сечении $y = 0$ при $\frac{E^*}{Y} = 550, \bar{\delta}_{\max} = 110$.

1. Сравнение численного решения с [1] при

$$n = 0, \bar{\delta}_{\max} = 110, \frac{E^*}{Y} = 110, 220, 550, 1100 \quad (5.37)$$

приведено на рисунке 15. Площадь поверхности контакта в процессе разгрузки рассчитывается как $A = \pi a^2$, т.е. предполагается, что область контакта – сплошная поверхность(ошибка?). Площадь поверхности контакта

меняется скачками, так как количество точек с целочисленными координатами в круге с центром $(0,0)$ меняется скачками с ростом радиуса. Это заметно ввиду грубости сетки.

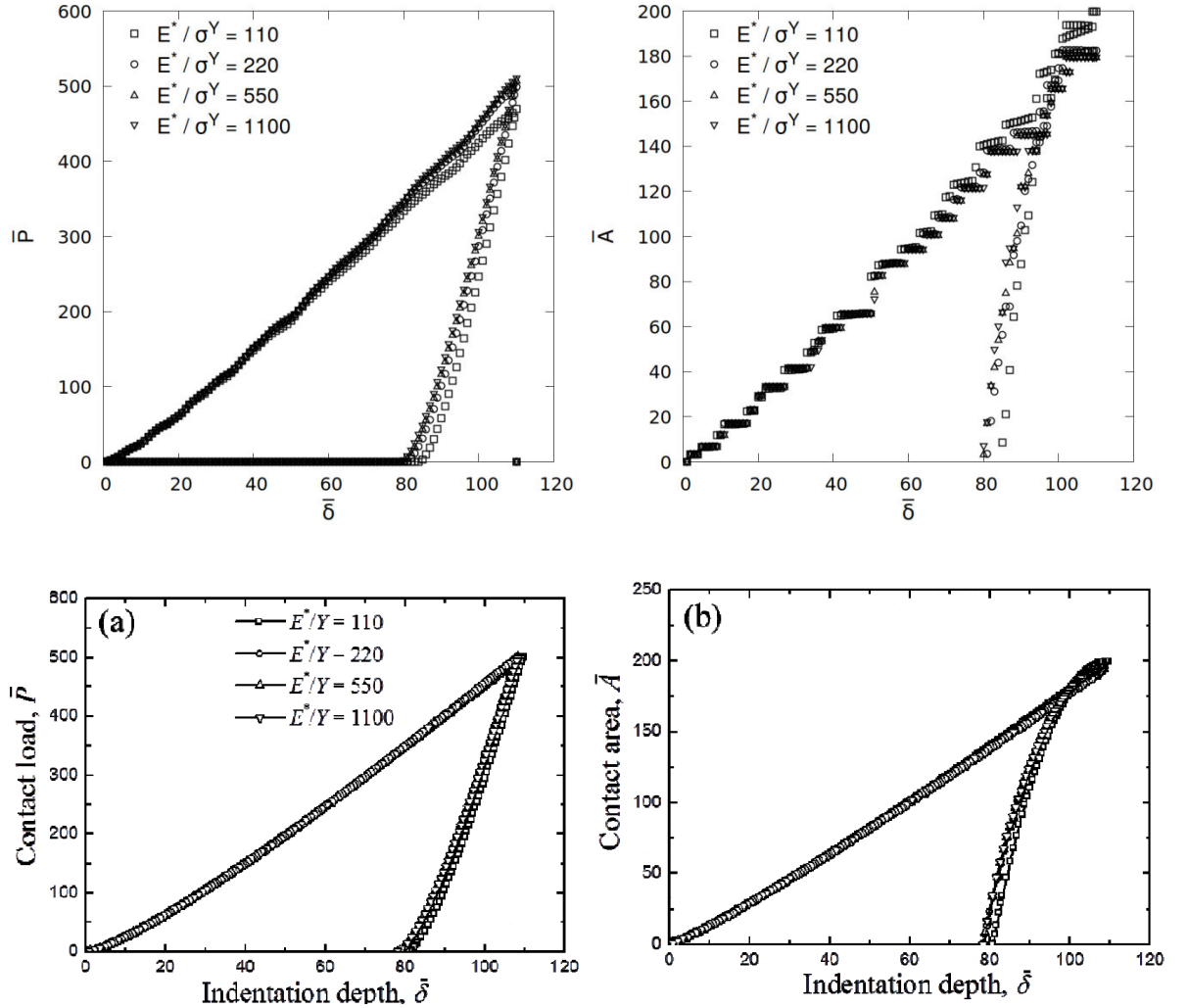


Рисунок 15. Зависимости общей силы контакта и площади контактной поверхности от сближения удалённых точек при $n = 0$, $\bar{\delta}_{\max} = 110$, $\frac{E^*}{Y} = 110, 220, 550, 1100$. Сверху численное решение, снизу численное решение

[1, Fig. 2]

Сравнение численных решений при различной подробности сетки N и при различных размерах образца $L_x \times L_y \times L_z$ изображено на рисунке 16.

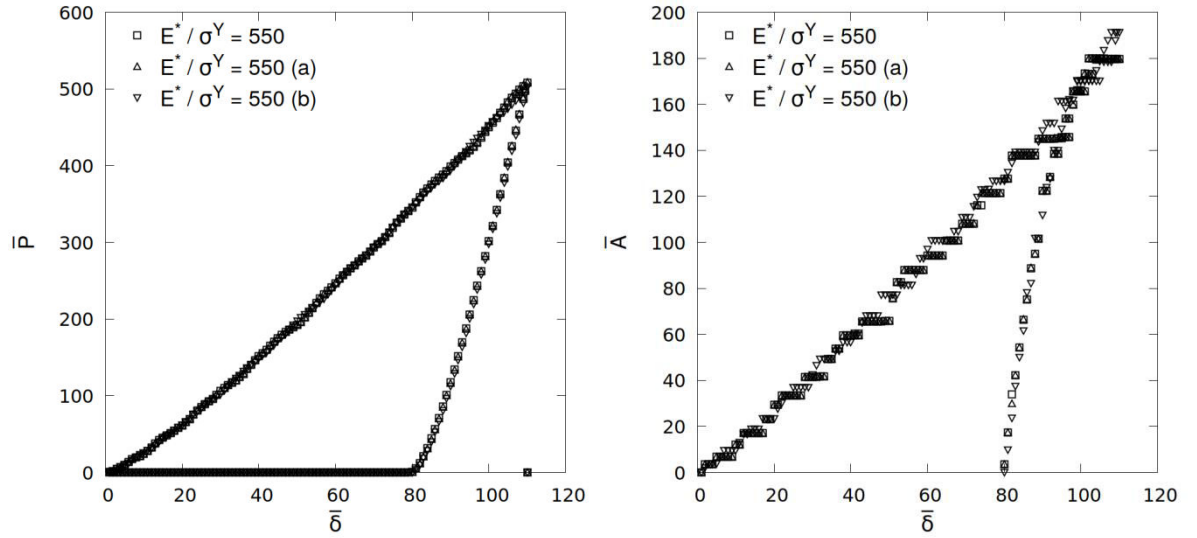


Рисунок 16. Решение при $n = 0$, $\bar{\delta}_{\max} = 110$, $\frac{E^*}{Y} = 550$: (a) – увеличение образца ($\frac{L_x}{2} = \frac{L_y}{2} = \frac{L_z}{2} = 30 \cdot \sqrt{2Rd - d^2}$), (b) – более подробная сетка ($N = 16$)

2. Сравнение численного решения с [1] при

$$n = 0, \bar{\delta}_{\max} = 1, 3, 6, 10, 15, 20, 30, 50, 70, 90, 110, \frac{E^*}{Y} = 550 \quad (5.38)$$

приведено на рисунке 17.

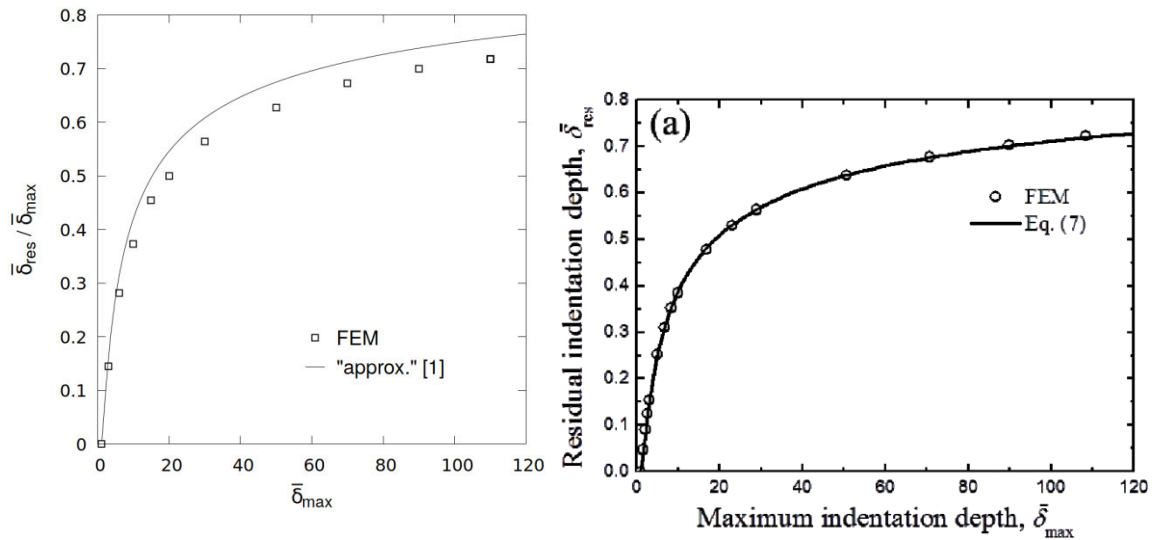


Рисунок 17. Зависимость остаточного сближения удалённых точек (по отношению к $\bar{\delta}_{\max}$) от максимального сближения удалённых точек при $n = 0$, $\bar{\delta}_{\max} = 1, 3, 6, 10, 15, 20, 30, 50, 70, 90, 110$, $\frac{E^*}{Y} = 550$. Слева численное решение и линия (5.25), справа численное решение [1, Fig. 3(a)].

Численные решения мало отличаются, но линия, построенная по формуле (5.25) ([1, Eq. 7]), не соответствует линии, нарисованной на [1, Fig. 3(a)], то есть в [1] приведены не точные коэффициенты аппроксимации.

3. Сравнение численного решения с [1] при

$$n = 0, 0.1, 0.2, 0.3, 0.4, 0.5, \bar{\delta}_{\max} = 110, \frac{E^*}{Y} = 550 \quad (5.39)$$

приведено на рисунках 18, 19.

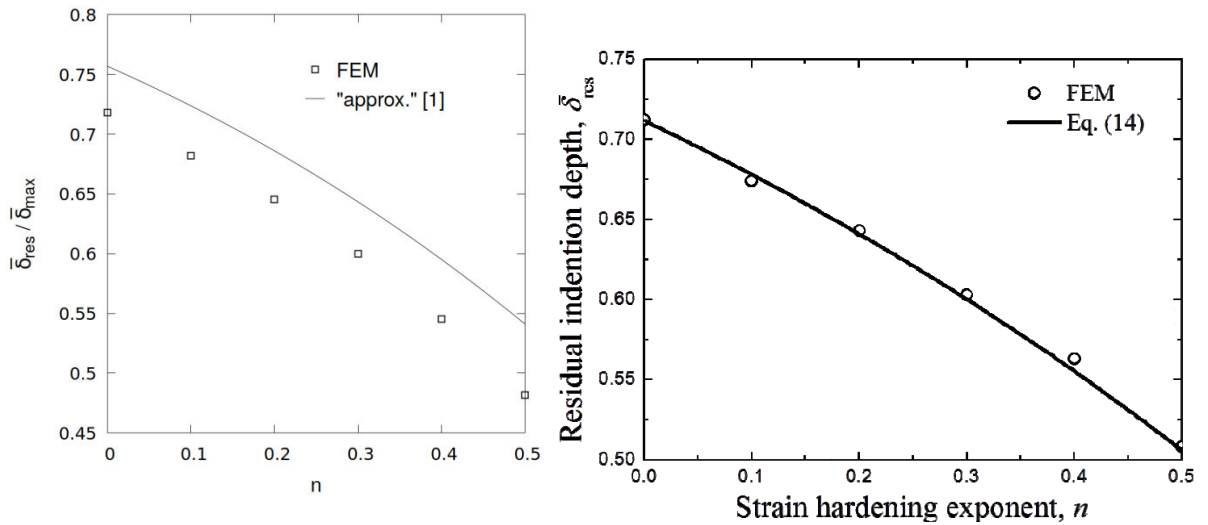


Рисунок 18. Зависимость остаточного сближения удалённых точек (по отношению к $\bar{\delta}_{\max}$) от коэффициента степенного упрочнения при $n = 0, 0.1, 0.2, 0.3, 0.4, 0.5, \bar{\delta}_{\max} = 110, \frac{E^*}{Y} = 550$. Слева численное решение и линия (5.31), справа численное решение [1, Fig. 5].

Линия, построенная по формуле (5.31) ([1, Eq. 14]), не соответствует линии, нарисованной на [1, Fig. 5], то есть в [1] приведены не точные коэффициенты аппроксимации. Различие между численными решениями возрастает с увеличением n , остаточное сближение удалённых точек получается чуть меньше, чем в [1].

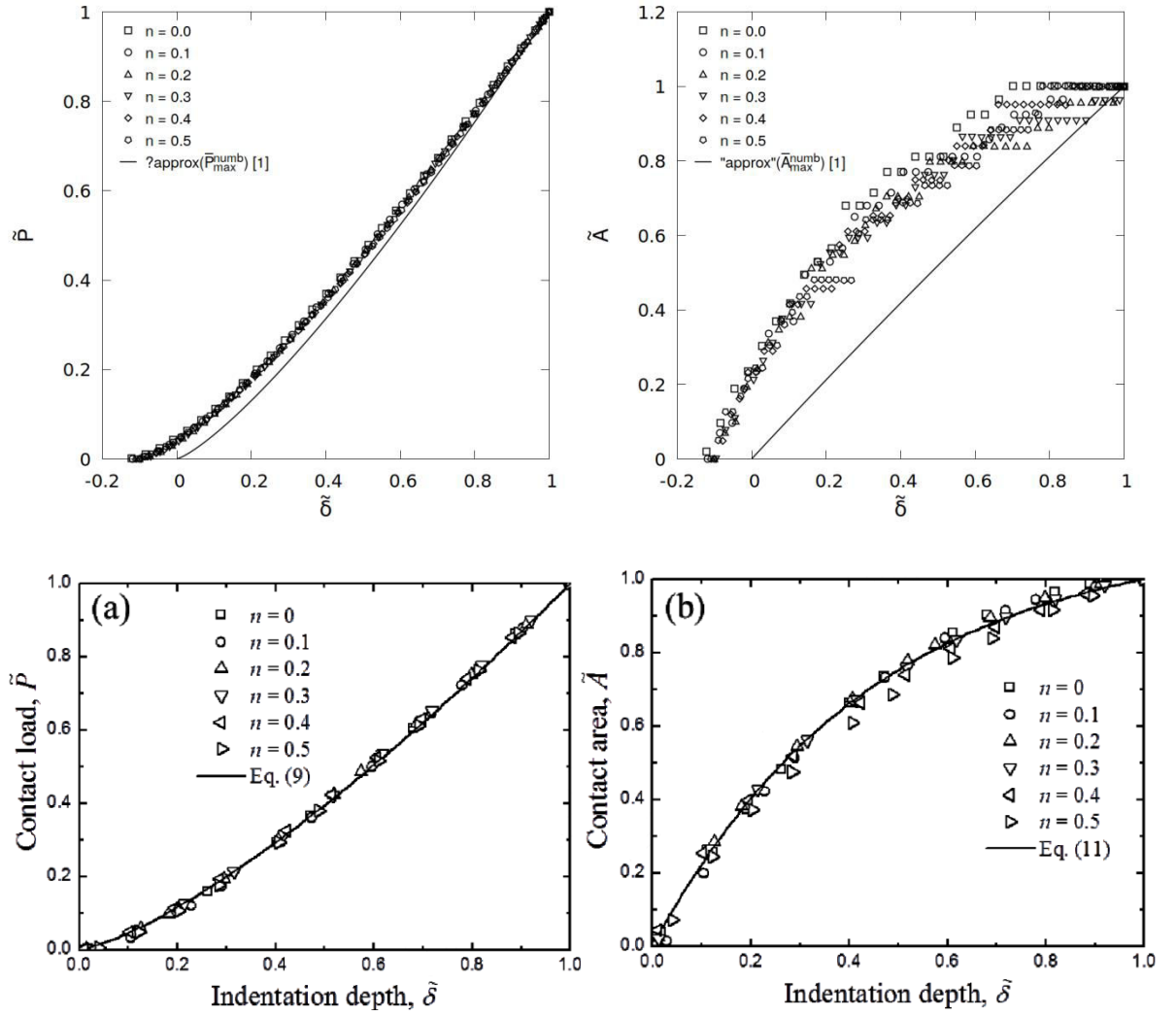


Рисунок 19. Зависимости общей силы контакта и площади контактной поверхности от сближения удалённых точек в процессе разгрузки при $n = 0, 0.1, 0.2, 0.3, 0.4, 0.5$, $\bar{\delta}_{max} = 110$, $\frac{E^*}{Y} = 550$. Сверху численное решение, обезразмеренное формулами (5.26), (5.27) и линии (5.28), (5.29), снизу численное решение [1, Fig. 4]. В формулу обезразмеривания δ (5.27) подставлялись значения $\bar{\delta}_{res}$, рассчитанные по формуле аппроксимации (5.31), а не численные, поэтому при $\tilde{P} = 0$ или $\tilde{A} = 0$ значение $\tilde{\delta}$ не равно 0.

Линии, построенные по формулам (5.28), (5.29) ([1, Eq. 9, 11]), не соответствует линиям, нарисованным на [1, Fig. 4], то есть в [1] приведены не точные коэффициенты аппроксимации. Сравнение теряет смысл.

Список литературы к разделу 5.4

- 1) Song Z., Komvopoulos K. An elastic–plastic analysis of spherical indentation: Constitutive equations for single-indentation unloading and development of plasticity due to repeated indentation //Mechanics of Materials. – 2014. – Т. 76. – С. 93-101.
- 2) Asiri S., Wagih A., Eltaher M. A. Predictive model for spherical indentation on elastoplastic nanocomposites: Loading and unloading behavior //Ceramics International. – 2019. – Т. 45. – №. 3. – С. 3088-3100.
- 3) Малинин Н.Н. Прикладная теория пластичности и ползучести. Издание второе, переработанное и дополненное, Москва: "Машиностроение", 1975г. – 400 с.

Приложение к разделу 5.4

Не понятые странности в [1]

- 1) Eq. 3a: $\sigma = E^* \varepsilon$
- 2) все использованные аппроксимации оказались не точными

Не понятые странности в [2]

1) Figure 3(a) не соответствует Figure 17. При $\bar{\alpha}_{\max} \approx 90$ значение $\bar{\alpha}_{\text{res}} / \bar{\alpha}_{\max}$ явно больше, чем 0.7, т.к. $90 \cdot 0.7 = 63$, а не 80, как изображено на Figure 3(a). При этом Figure 17 совпадает с [1, Fig. 3(a)] (рисунок 4).

Заключение

- СЛАУ решается медленно, нужен нормальный разделитель или использование эффективных итерационных методов, OpenCL, распараллеливание и т.д.
- Итерационный процесс по пластичности плохо сходится в случае разгрузки, если оставлять не упругую матрицу определяющих соотношений. Это вызывает неудобства в случае решения СЛАУ прямыми методами.
- Решения в случае упругости близки к аналитическим. Погрешность могла возникнуть из-за отсутствия учёта геометрической нелинейности, грубости сетки, не достаточного размера образца для заданных параметров вдавливания и коэффициента Пуассона
- Протестирован решатель с идеальной и не идеальной пластичностью и контактом, при сложном нагружении (т.е. напряжения увеличиваются не пропорционально), но при малых деформациях. Решения близки к численным решениям из [17], но часть результатов не удалось сравнить ввиду не точности аппроксимаций в [17]

Не хватает ползучести по наследственной теории и геометрической нелинейности.

Список литературы

- 1) Филиппов А. С. Численные методы в механике деформируемого твердого тела //Москва. – 2016.
- 2) Биргер И. А., Шорр Б. Ф., Иосилевич Г. Б. Термопрочность деталей машин //М.: Машиностроение. – 1975. – Т. 455.
- 3) Колесников К. С., Александров Д. А., Асташев В. К. Машиностроение. Энциклопедия. Динамика и прочность машин. Теория механизмов и машин. Т. 1-3. Кн. 1 //М.: Машиностроение. – 1994. – Т. 1.
- 4) Писаренко Г. С., Мажаровский Н. С. Уравнения и краевые задачи теории пластичности и ползучести //Киев: Наукова думка. – 1981. – Т. 496. – С. 1.
- 5) Коробейников С. Н. Нелинейное деформирование твердых тел. – Новосибирск : Изд-во Сиб. отд-ния Рос. АН, 2000.
- 6) Зенкевич О. Метод конечных элементов в технике. – М.: Мир, 1975. – 542 с
- 7) Отчет о ПНИ по теме: "Разработка программно-технических решений в области промышленного программного обеспечения для моделирования поведения элементов конструкций из современных материалов в экстремальных условиях при механических и немеханических воздействиях для решения задач проектирования авиакосмической техники" (№ гос. регистрации: 114112440083)
- 8) Соловейчик Ю. Г. Метод конечных элементов для решения скалярных и векторных задач : учеб. пособие / Ю. Г. Соловейчик, М. Э. Рояк, М. Г. Персова – Новосибирск: Изд-во НГТУ, 2007. – 896 с.
- 9) Станкевич И. В. Численное решение контактных задач с учетом деформации ползучести //Вестник МГТУ им. НЭ Баумана. Сер. Естественные науки. – 2012. – №. 4. – С. 145-153.
- 10) Wriggers P., Zavarise G. Computational contact mechanics //Encyclopedia of computational mechanics. – 2004.

- 11) Джордж А. Лю Дж. Численное решение больших разреженных систем уравнений. – 1984.
- 12) Fang H. Analysis of Block LDL^T Factorizations for Symmetric Indefinite Matrices. – 2007.
- 13) Care G., Fischer-Cripps A. C. Elastic-plastic indentation stress fields using the finite-element method //Journal of materials science. – 1997. – Т. 32. – №. 21. – С. 5653-5659.
- 14) Feng G. et al. An analytical expression for the stress field around an elastoplastic indentation/contact //Acta Materialia. – 2007. – Т. 55. – №. 9. – С. 2929-2938.
- 15) Джонсон К. Механика контактного взаимодействия. – мир, 1989.
- 16) Нахатакян Ф. Г. Напряженно-деформированное состояние упругих элементов зубчатых механизмов и сооружений при их линейном и кромочном контакте //М.: ИМАШ РАН. – 2014.
- 17) Song Z., Komvopoulos K. An elastic–plastic analysis of spherical indentation: Constitutive equations for single-indentation unloading and development of plasticity due to repeated indentation //Mechanics of Materials. – 2014. – Т. 76. – С. 93-101.
- 18) Asiri S., Wagih A., Eltaher M. A. Predictive model for spherical indentation on elastoplastic nanocomposites: Loading and unloading behavior //Ceramics International. – 2019. – Т. 45. – №. 3. – С. 3088-3100.
- 19) Малинин Н.Н. Прикладная теория пластичности и ползучести. Издание второе, переработанное и дополненное, Москва: "Машиностроение", 1975г. – 400 с.